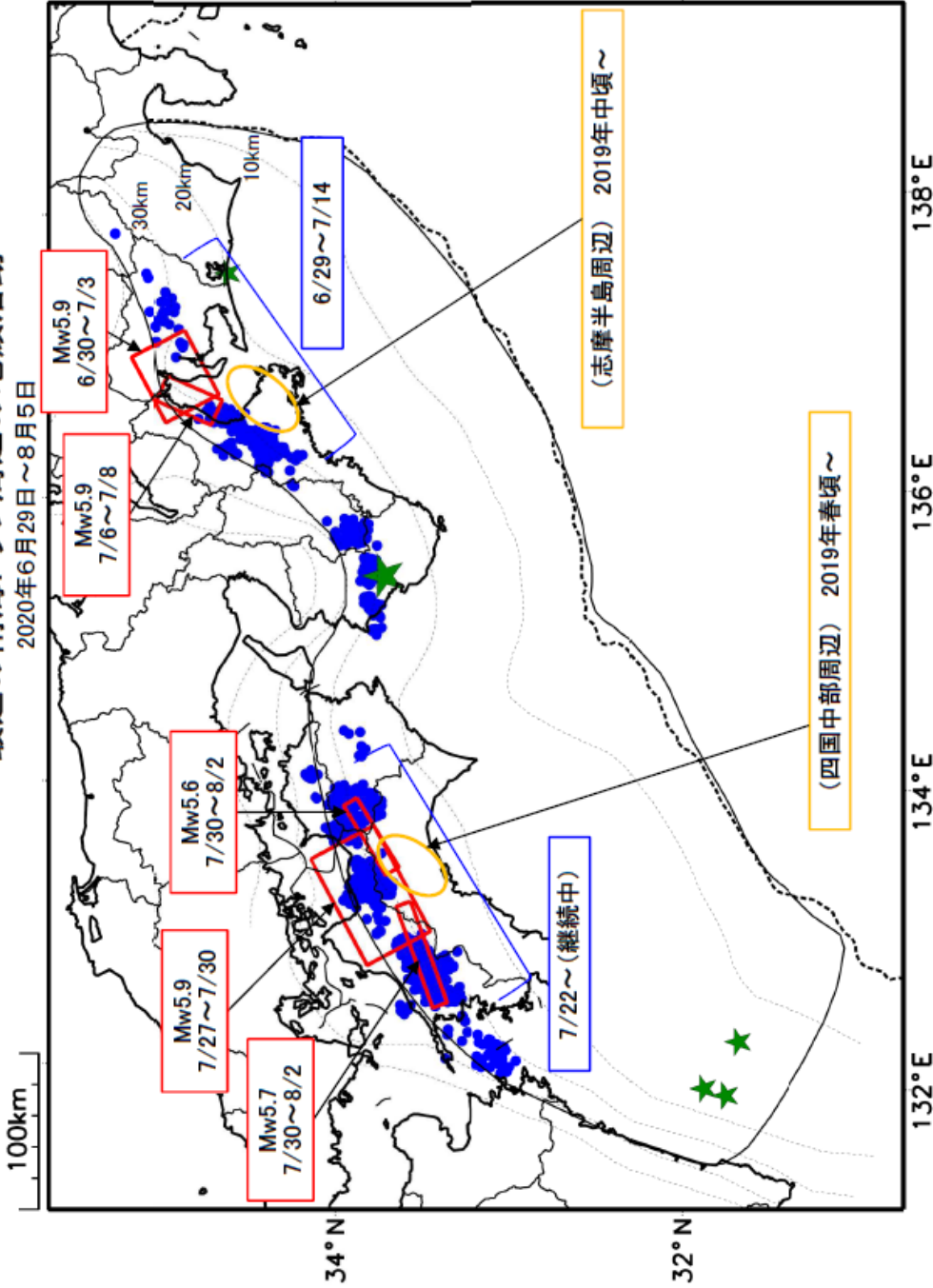


最近の南海トラフ周辺の地殻活動

2020年6月29日～8月5日



- 緑(★) 通常の地震(最大震度3以上もしくはM3.5以上)
- 青(●) 深部低周波地震(微動)
- 赤(□) 短期的ゆっくりすべり
- 黄(○) 長期的ゆっくりすべり

※地図中の点線は、Hirose et al.(2008), Baba et al.(2002)によるフィリピン海プレート上面の深さを示す。

※M5.0以上の地震に吹き出しを付けている。

通常の地震(最大震度3以上もしくはM3.5以上).....気象庁の解析結果による。
 深部低周波地震(微動).....(震源データ)気象庁の解析結果による。(活動期間)気象庁の解析結果による。
 短期的ゆっくりすべり.....【東海から紀伊半島北部】気象庁の解析結果による。【四国東部から四国西部】産業技術総合研究所の解析結果による。
 長期的ゆっくりすべり.....【四国中部周辺、志摩半島周辺】国土地理院の解析結果を元におよその場所を表示している。

気象庁作成

令和2年7月1日～令和2年8月5日の主な地震活動

○南海トラフ巨大地震の想定震源域およびその周辺の地震活動：

【最大震度3以上を観測した地震もしくはM3.5以上の地震及びその他の主な地震】

月/日	時:分	震央地名	深さ (km)	M	最大 震度	発生場所
7/11	03:19	遠州灘	30	3.7	2	フィリピン海プレート内部
7/12	15:06	日向灘	-	3.5	-	
7/19	09:28	日向灘	26	3.9	1	フィリピン海プレートと陸のプレートの境界
8/1	12:15	和歌山県南部	46	4.2	3	フィリピン海プレート内部
8/5	20:40	日向灘	25	3.5	-	

※震源の深さは、精度がやや劣るものは表記していない。

※太平洋プレートの沈み込みに伴う震源が深い地震は除く。

○深部低周波地震（微動）活動期間

四国	紀伊半島	東海
■四国東部 6月28日～7月4日 7月10日～11日 7月15日～16日 7月21日～27日 <u>7月30日～（継続中）</u> ・・・(2)	■紀伊半島北部 6月30日～7月1日 <u>7月3日～14日</u> ・・・(1) 7月29日～30日 8月3日 ■紀伊半島中部 7月12日 7月17日 7月19日～20日 7月24日 7月30日～31日 ■紀伊半島西部 7月2日～3日 7月11日～13日 7月19日 7月26日 7月28日～30日 8月1日～4日	<u>6月29日～7月5日</u> ・・・(1) 7月12日～13日 7月15日 7月24日～25日 7月30日～31日 8月2日～4日
■四国中部 <u>7月22日～8月4日</u> ・・・(2)		
■四国西部 7月5日～7日 7月12日～18日 7月20日～22日 7月24日～26日 <u>7月29日～（継続中）</u> ・・・(2)		

※深部低周波地震（微動）活動は、気象庁一元化震源を用い、地域ごとの一連の活動（継続日数2日以上または活動日数1日の場合で複数個検知したもの）について、活動した場所ごとに記載している。

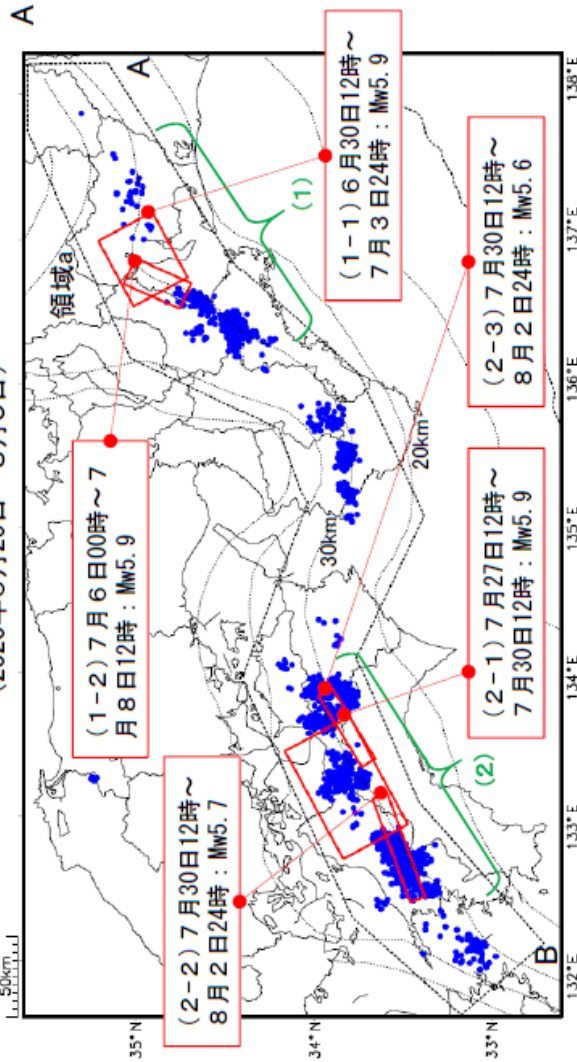
※ひずみ変化と同期して観測された深部低周波地震（微動）活動を赤字で示す。

※上の表中（1）、（2）を付した活動は、今期間、主な深部低周波地震（微動）活動として取り上げたもの。

気象庁作成

深部低周波地震（微動）活動と短期的ゆっくりすべりの全体概要

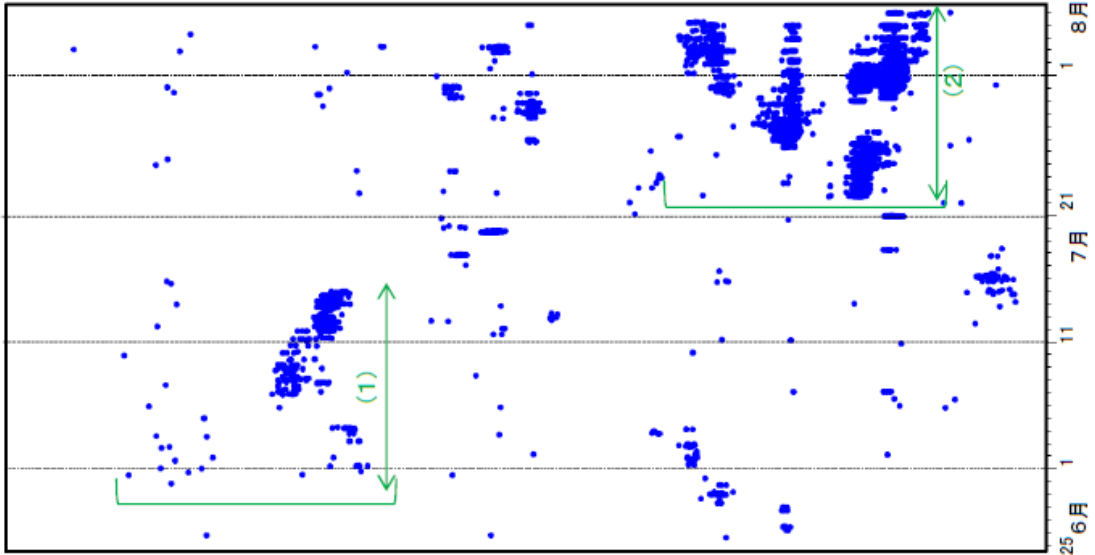
深部低周波地震（微動）の震央分布図と短期的ゆっくりすべりの断層モデル
 (2020年6月25日～8月5日)



主な深部低周波地震（微動）活動と短期的ゆっくりすべり

活動場所	深部低周波地震(微動)活動の活動の期間	短期的ゆっくりすべりの期間と規模
(1) 東海から紀伊半島北部	6月29日～7月14日	(1-1) 6月30日12時～7月3日24時: Mw5.9 (1-2) 7月6日00時～7月8日12時: Mw5.9
(2) 四国東部から四国西部	7月22日～(継続中)	(2-1) 7月27日12時～7月30日12時: Mw5.9 (2-2) 7月30日12時～8月2日24時: Mw5.7 (2-3) 7月30日12時～8月2日24時: Mw5.6

領域a(点線矩形)内の深部低周波地震(微動)の時空間分布図(A-B投影)



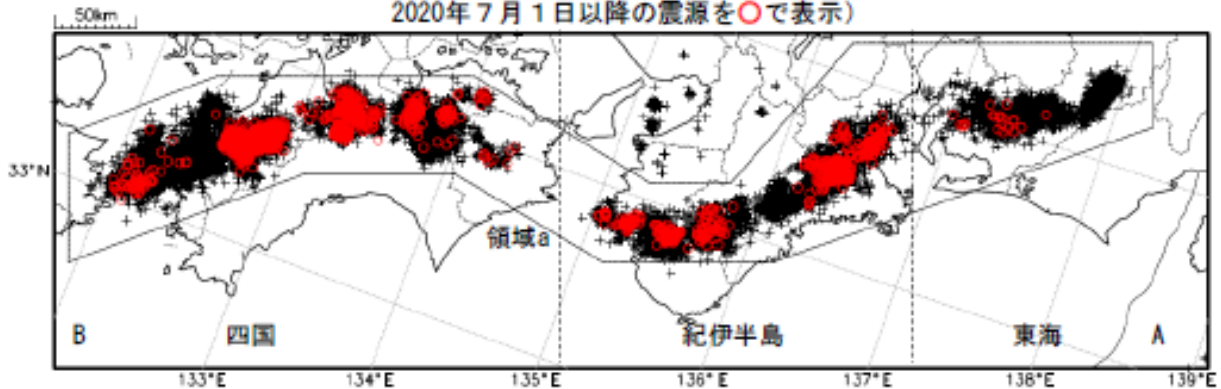
気象庁作成

B
 ●: 深部低周波地震(微動) 震央(気象庁の解析結果を示す) 期間(気象庁の解析結果を示す)
 □: 短期的ゆっくりすべりの断層モデル(東海から紀伊半島北部:気象庁の解析結果を示す。四国:産業技術総合研究所の解析結果を示す。)
 点線は、Hirose et al.(2008)、Baba et al.(2002)によるフィリピン海プレート上面の深さ(10km)ごとの等深線を示す。

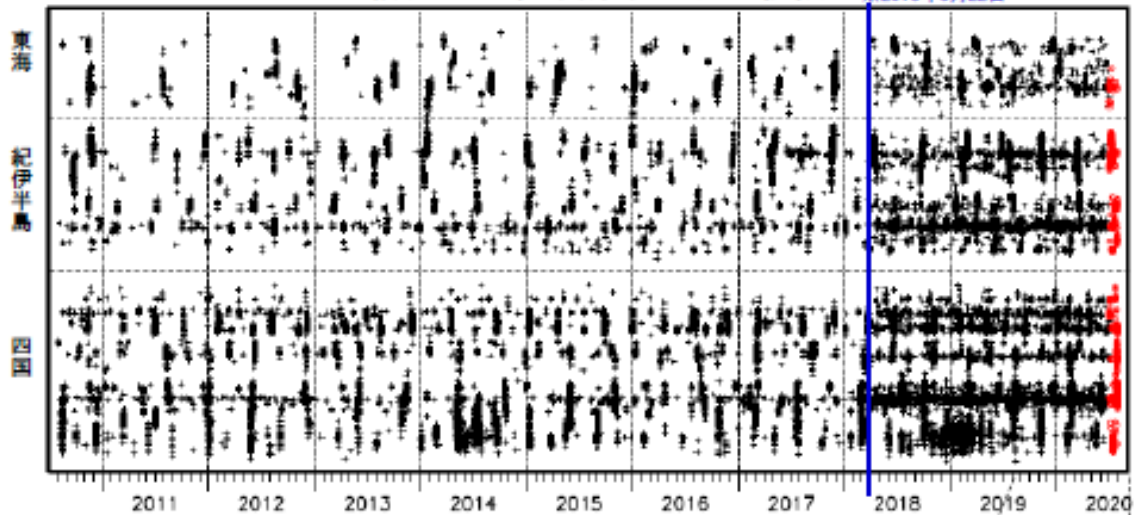
深部低周波地震（微動）活動（2010年8月1日～2020年7月31日）

深部低周波地震（微動）は、「短期的ゆっくりすべり」に密接に関連する現象とみられており、プレート境界の状態の変化を監視するために、その活動を監視している。

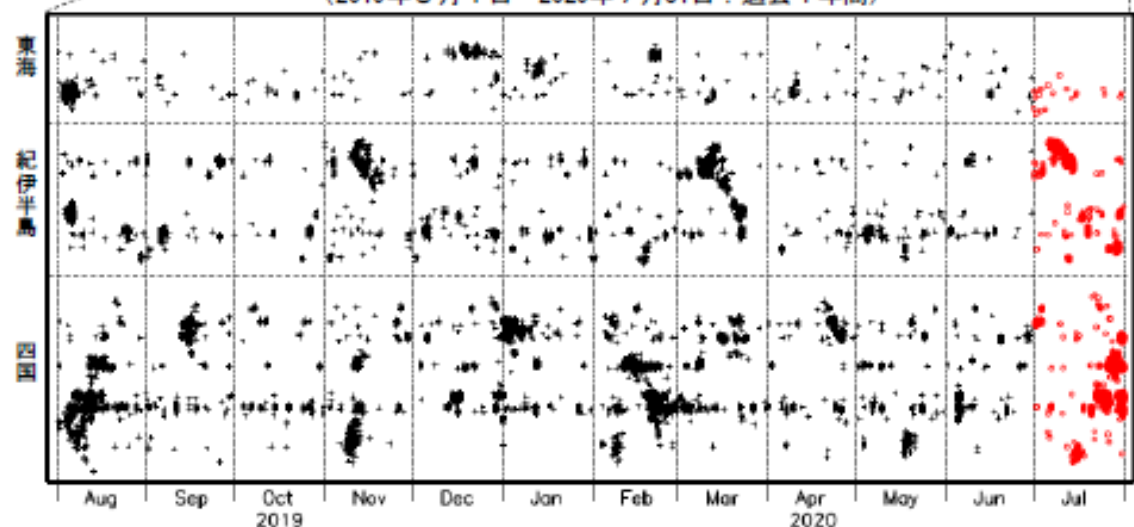
震央分布図（2010年8月1日～2020年7月31日：過去10年間
2020年7月1日以降の震源を○で表示）



上図領域a内の時空間分布図（A-B投影） ※2018年3月22日



（2019年8月1日～2020年7月31日：過去1年間）



※2018年3月22日から、深部低周波地震（微動）の処理方法の変更（Matched Filter法の導入）により、それ以前と比較して検知能力が変わっている。

気象庁作成

東海から紀伊半島北部の深部低周波地震（微動）活動と短期的ゆっくりすべり

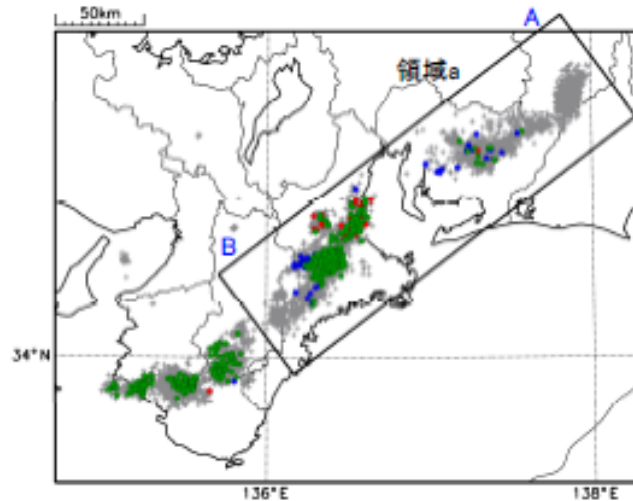
6月29日から7月14日にかけて、東海から紀伊半島北部で深部低周波地震（微動）を観測した。6月29日に東海で始まった活動は、7月6日以降は主に紀伊半島北部でみられ、14日かけて南西に広がった。

深部低周波地震（微動）活動とほぼ同期して、周辺に設置されている複数のひずみ計で地殻変動を観測した。これらは、短期的ゆっくりすべりに起因すると推定される。

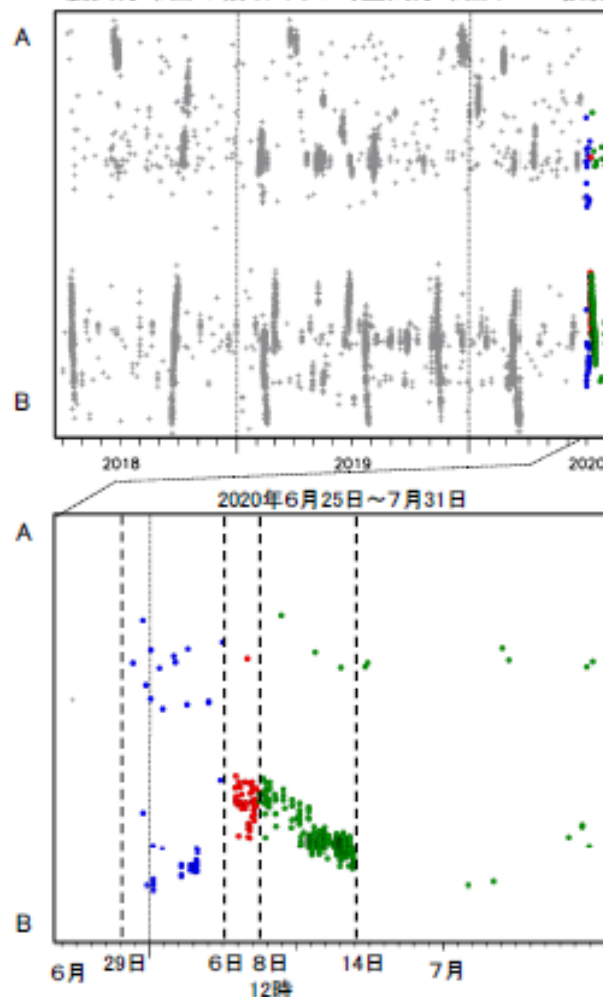
深部低周波地震（微動）活動

震央分布図（2018年4月1日～2020年7月31日、深さ0～60km、Mすべて）

灰：2018年4月1日～2020年6月28日、青：2020年6月29日～7月5日、赤：7月6日～7月8日12時、緑：7月8日12時～7月31日



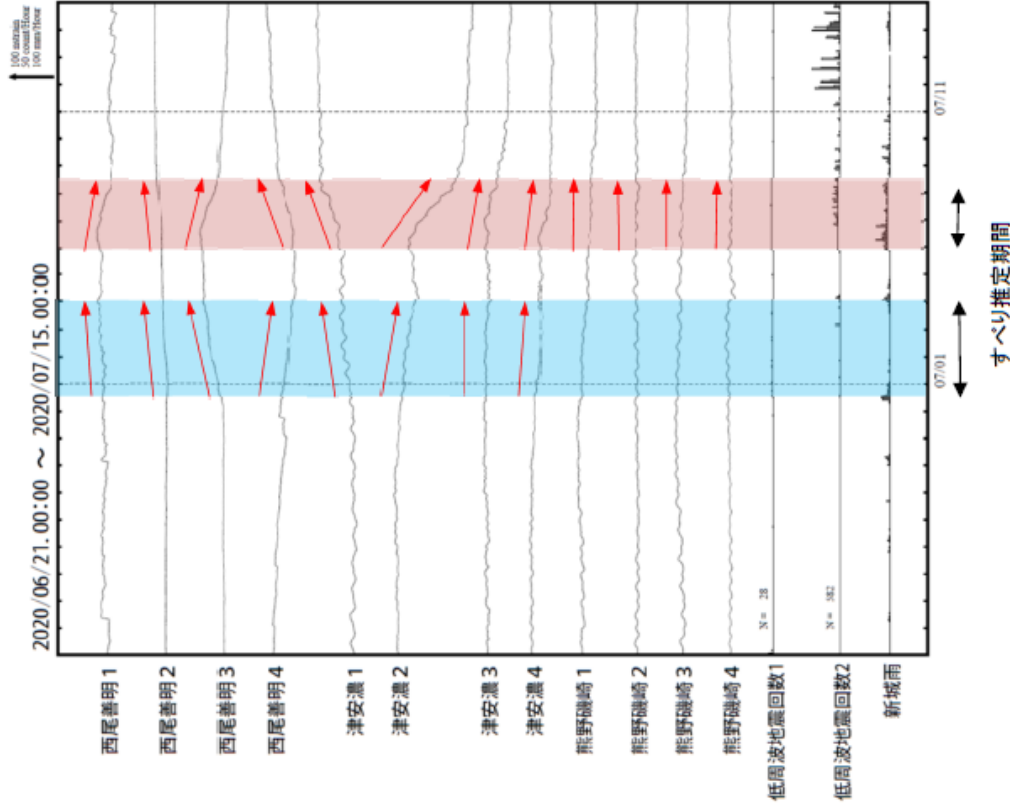
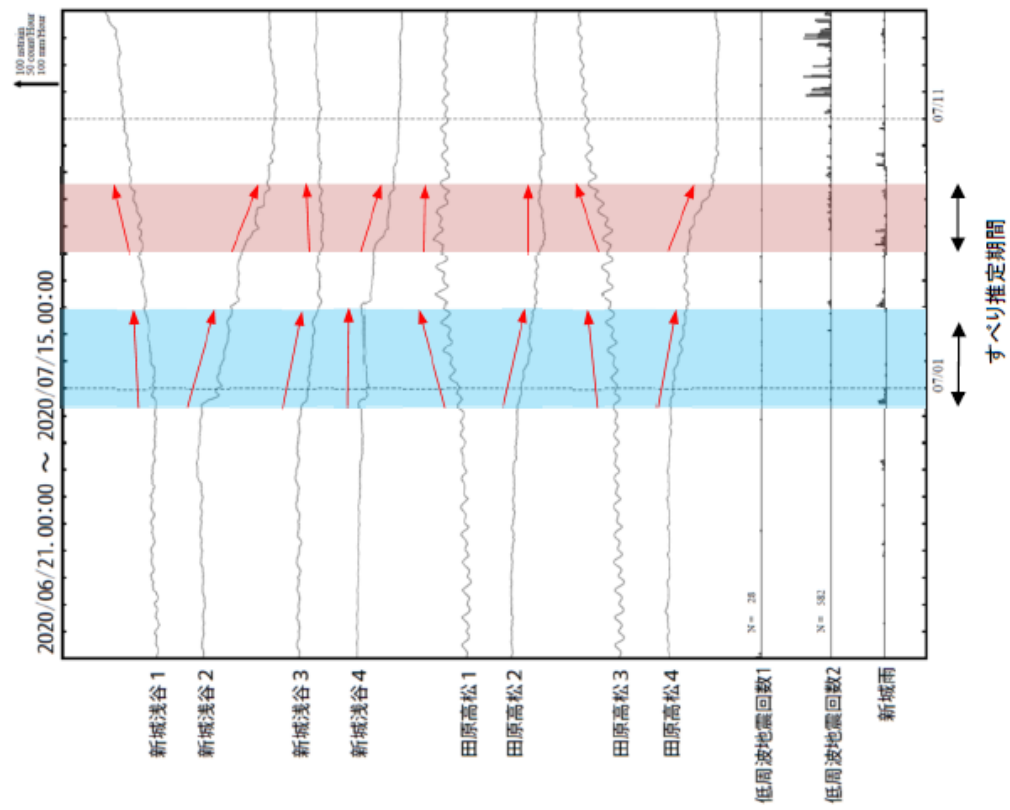
震央分布図の領域a内の時空間分布図 (A-B投影)



気象庁作成

東海から紀伊半島北部で観測した短期的ゆっくりすべり(6月30日～7月8日)

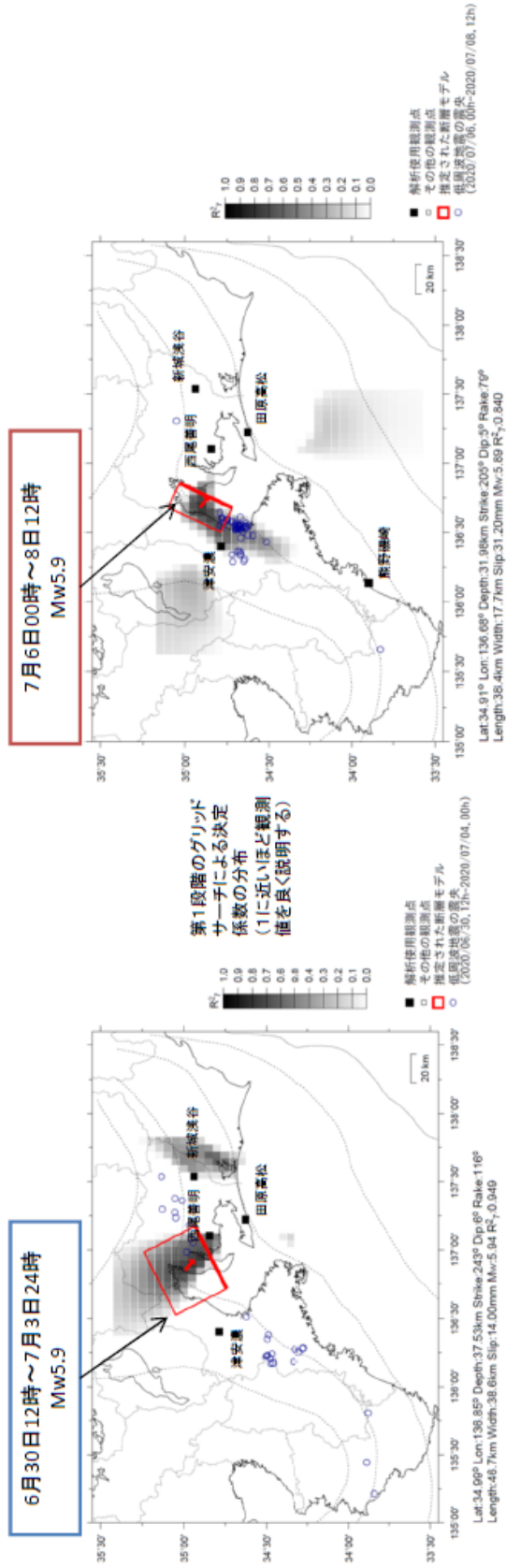
愛知県から三重県で観測されたひずみ変化



西尾善明、津安濃及び熊野磯崎は産業技術総合研究所のひずみ計である。

気象庁作成

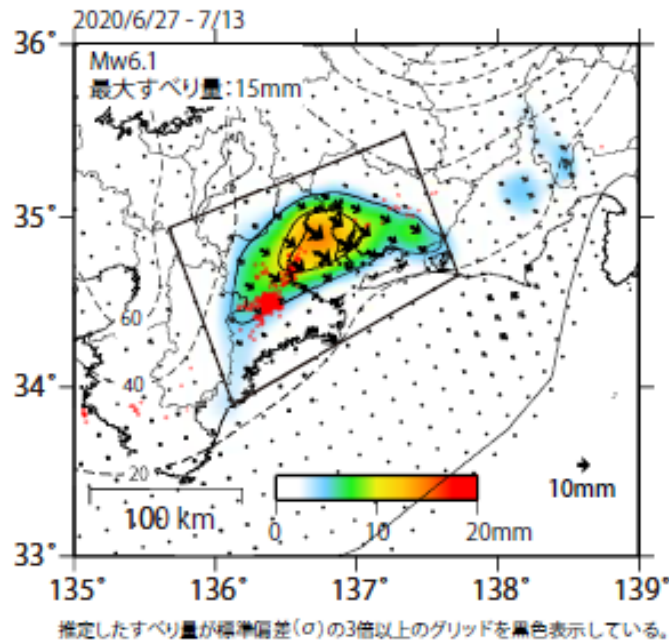
東海から紀伊半島北部で観測した短期的ゆっくりすべり(6月30日～7月8日)



前図に観測されたひずみ観測点での変化量を元にすべり推定を行ったところ、低周波地震とほぼ同じ場所にすべり域が求まった。

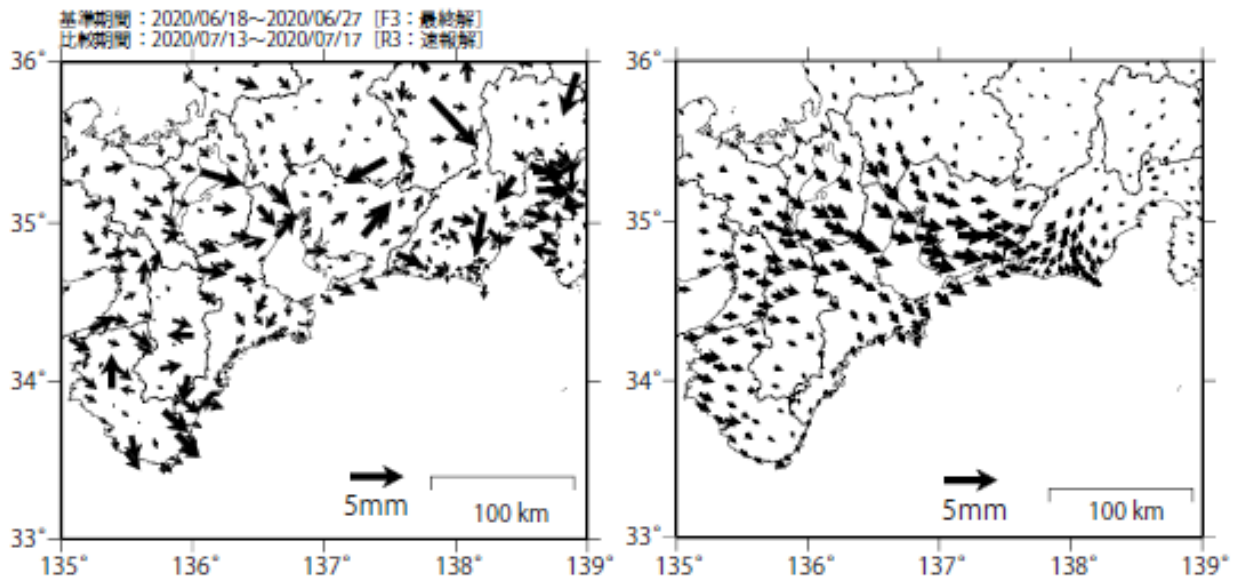
断層モデルの推定は、産総研の解析方法(坂場ほか, 2012)を参考に以下の2段階で行う。
 ・断層サイズを20km×20kmに固定し、位置を0.05度単位でグリッドサーチにより推定する。
 ・その位置を中心に、他の断層パラメータの最適解を求める。

GNSSデータから推定された
紀伊半島北部の深部低周波微動と同期したスロースリップ(暫定)



観測

計算



解析に使用した全観測点の座標時系列から
共通に含まれる時間変化成分は取り除いている。

解析に使用した観測点の範囲:概ね北緯33.4~36°、東経135~139°
使用データ:F3解(2020/6/1 - 2020/7/4)+R3解(2020/7/5 - 2020/7/17)
トレンド期間:2018/1/1 - 2019/1/1
モーメント計算範囲:上段の図の黒枠内側
黒破線:フィリピン海プレート上面の等深線(弘瀬・他, 2007)
赤丸:低周波地震(気象庁一元化震源)
コンター間隔:5mm
固定局:三隅

国土地理院

四国の深部低周波微動活動状況（2020年7月） 

- 7月14～18日頃に豊後水道において、やや活発な活動。
- 7月22日頃より四国東部から西部において、活発な活動。

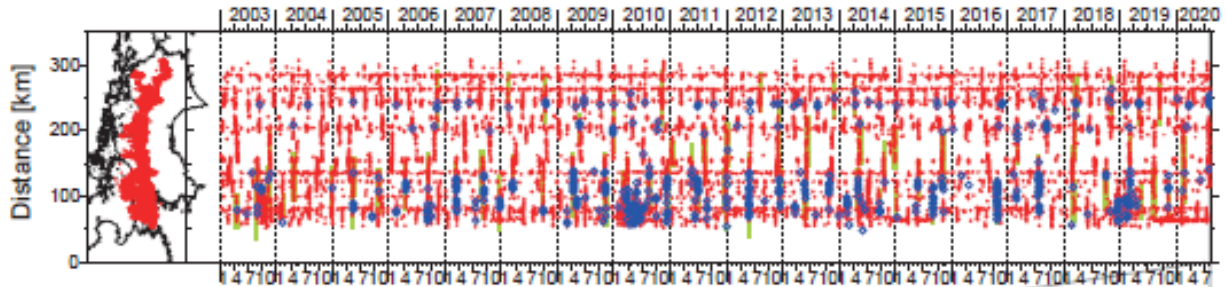
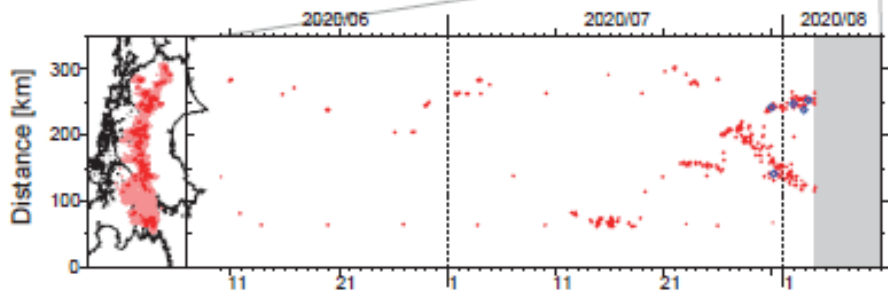


図1. 四国における2003年1月～2020年8月3日までの深部低周波微動の時空間分布（上図）。赤丸はエンベロープ相関・振幅ハイブリッド法 (Maeda and Obara, 2009) およびクラスタ処理 (Obara et al., 2010) によって1時間毎に自動処理された微動分布の重心である。青菱形は周期20秒



に卓越する超低周波地震 (Ito et al., 2007) である。黄緑色太線は、これまでに検出された短期的スロースリップイベント (SSE) を示す。下図は2020年7月を中心とした期間の拡大図である。7月14～18日頃に豊後水道においてやや活発な活動がみられ、南方向への活動域の移動が若干みられた。7月22日頃から開始した活発な活動は、徳島県西部から愛媛県西部の領域でみられている。この活動は愛媛県中部で開始した後、26日頃から愛媛県東部で活発化し、西方向への活動域の移動がみられる。30日頃からは愛媛・徳島県境付近でも活動が活発化し、やや東方向への活動域の移動がみられる。7月1～4日頃には徳島県中部から香川県において、7月21～26日頃には徳島県東部から香川県において、それぞれ小規模な活動がみられた。7月12日頃には豊後水道において、ごく小規模な活動がみられた。

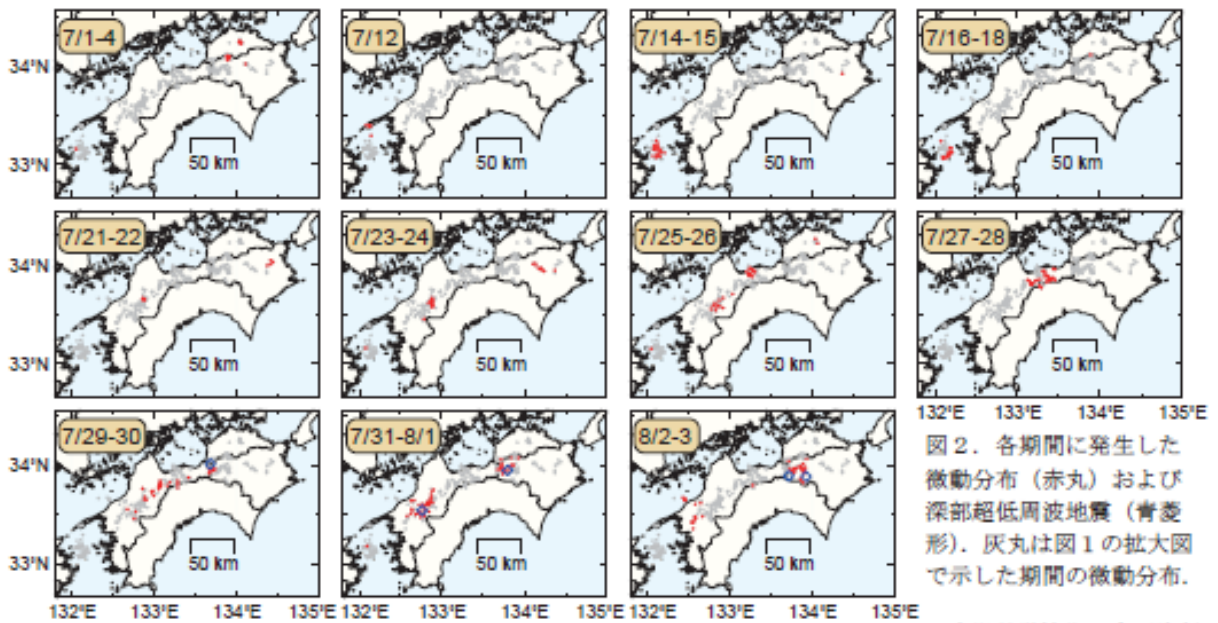


図2. 各期間に発生した微動分布（赤丸）および深部超低周波地震（青菱形）。灰丸は図1の拡大図で示した期間の微動分布。

防災科学技術研究所資料

暫定

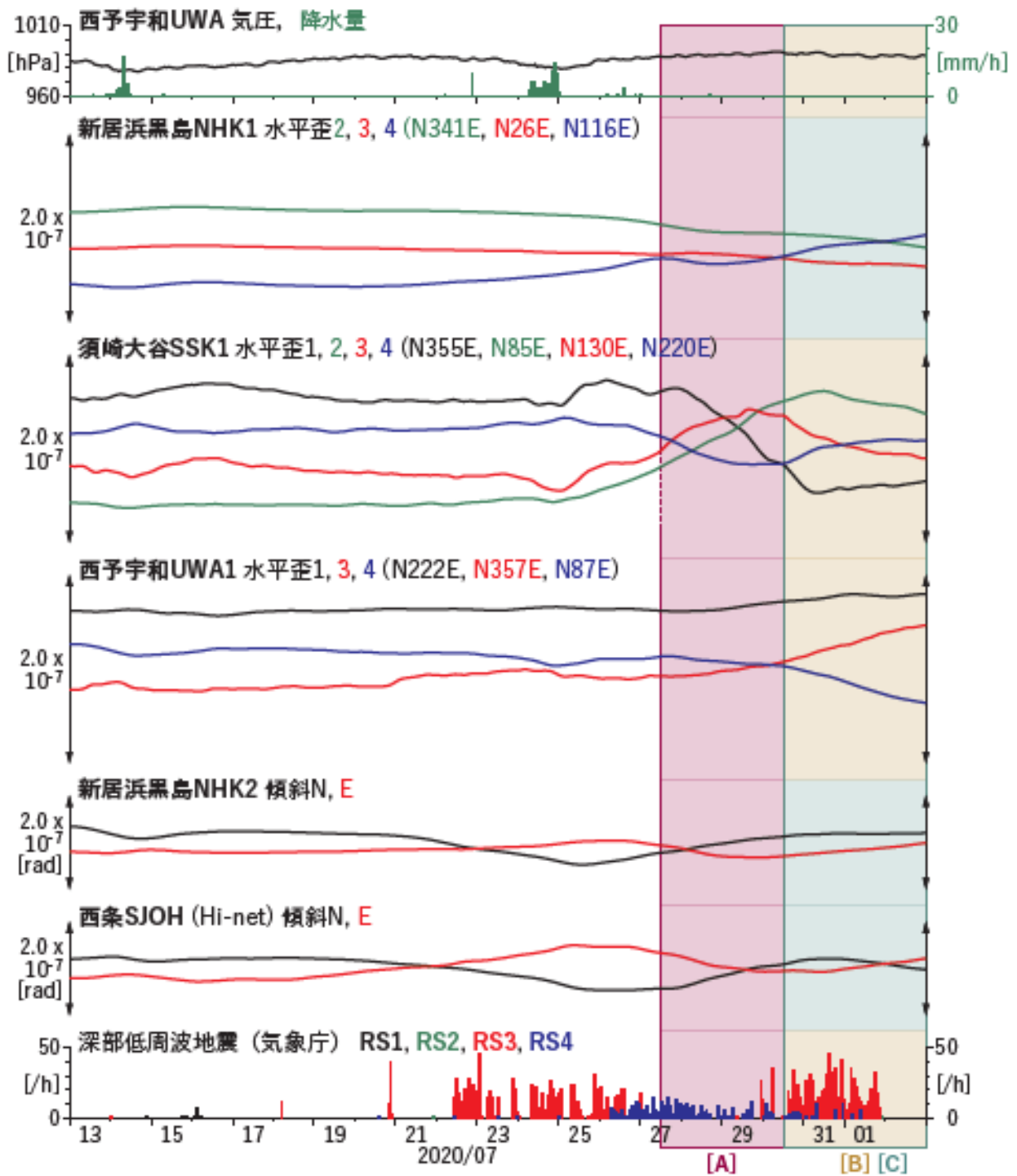


図6 歪・傾斜の時間変化 (2020/07/13 00:00 - 2020/08/03 00:00 (JST))

暫定

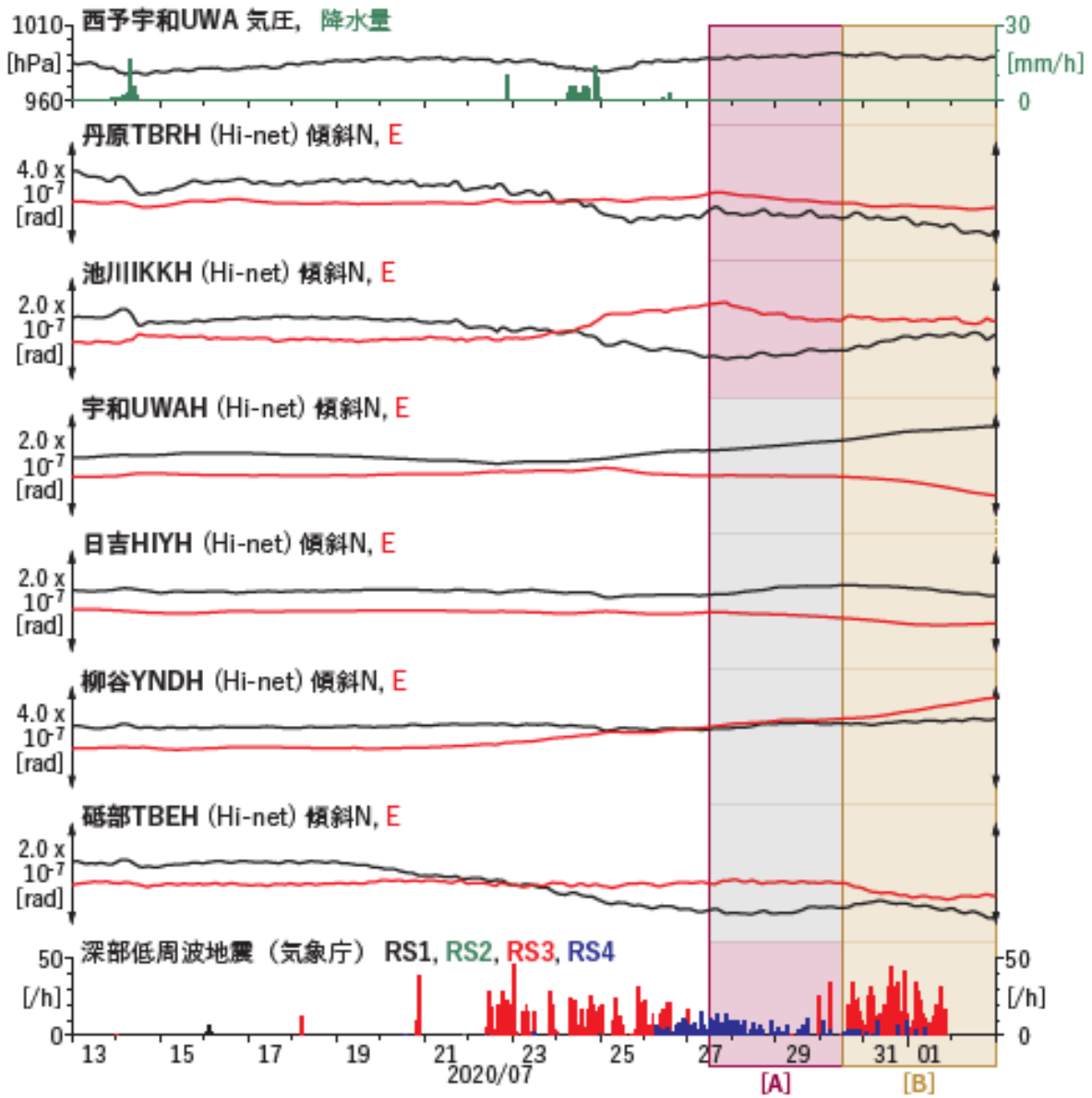


図7 傾斜の時間変化 (2020/07/13 00:00 - 2020/08/03 00:00 (JST))

暫定

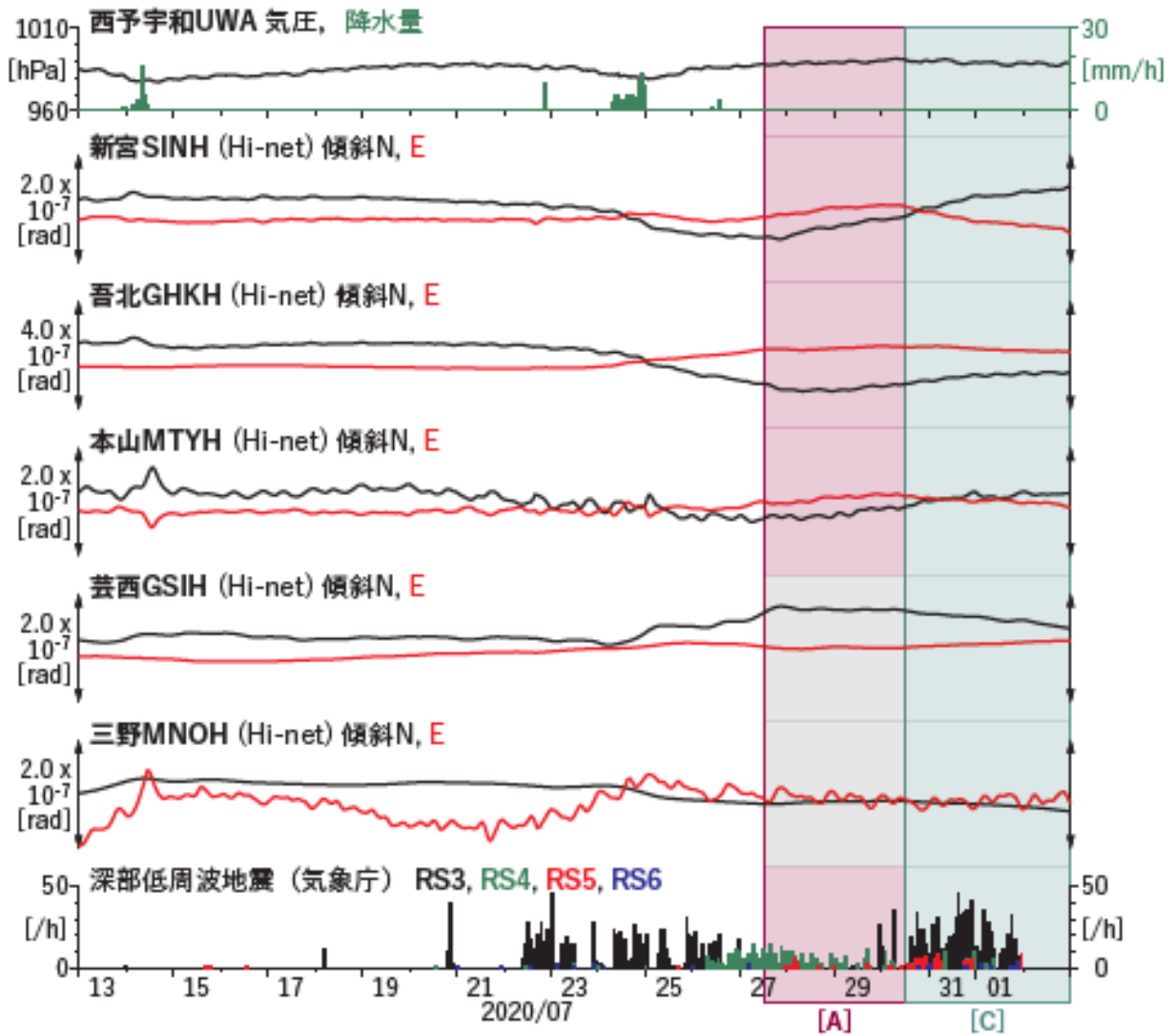
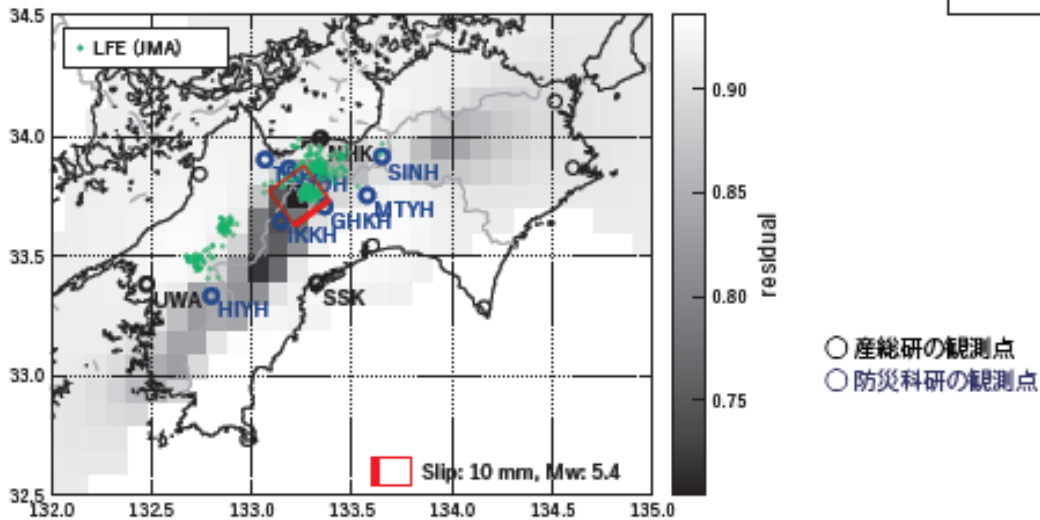


図8 傾斜の時間変化 (2020/07/13 00:00 - 2020/08/03 00:00 (JST))

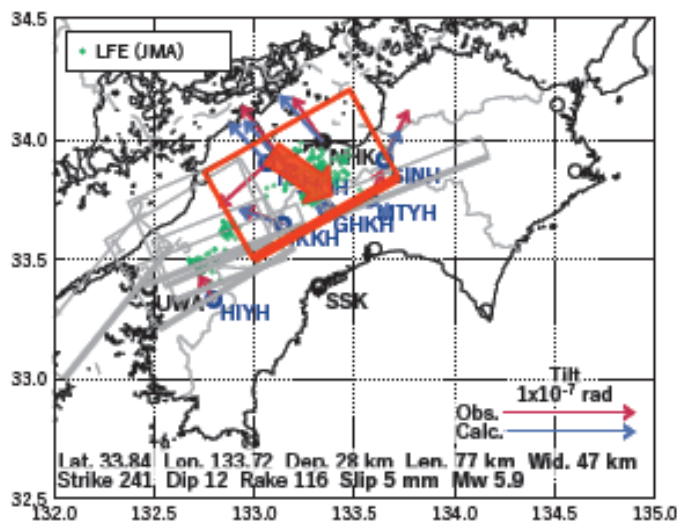
[A] 2020/07/27PM - 30AM

(a) 断層の大きさを固定した場合の断層モデルと残差分布

暫定



(b1) 推定した断層モデル



(b2) 主歪

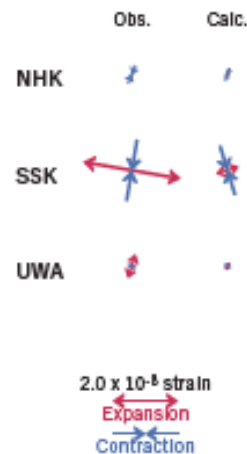


図9 2020/07/27PM - 30AM の歪・傾斜変化（図6-8[A]）を説明する断層モデル。

(a) プレート境界面に沿って分布させた20×20kmの矩形断層面を移動させ、各位置で残差の総和を最小とするすべり量を選んだ時の残差の総和の分布。赤色矩形が残差の総和が最小となる断層面の位置。

(b1) (a)の位置付近をグリッドサーチして推定した断層面（赤色矩形）と断層パラメータ。灰色矩形は最近周辺で発生したイベントの推定断層面。

1: 2020/02/19-20AM (Mw5.5), 2: 2020/02/20PM-21AM (Mw5.8), 3: 2020/02/21PM-22 (Mw5.6)

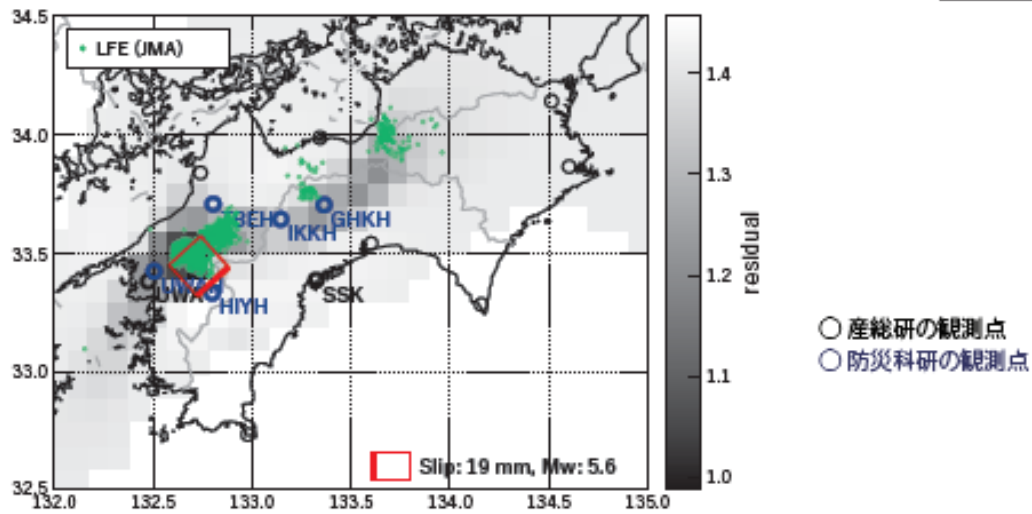
4: 2020/04/23-27 (Mw5.5), 5: 2020/05/17-20AM (Mw5.6), 6: 2020/06/04PM-06 (Mw5.5)

(b2) 主歪の観測値と(b1)に示した断層モデルから求めた計算値との比較。

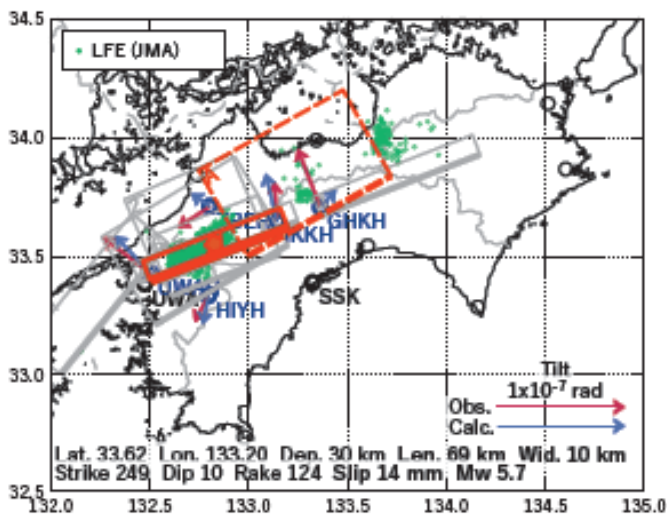
[B] 2020/07/30PM - 08/02

暫定

(a) 断層の大きさを固定した場合の断層モデルと残差分布



(b1) 推定した断層モデル



(b2) 主歪

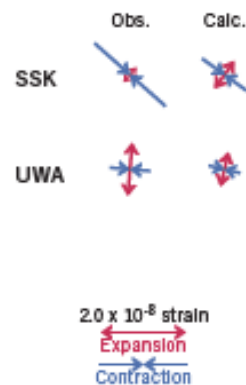


図10 2020/07/30PM - 08/02 の歪・傾斜変化（図6-8[B]）を説明する断層モデル。

(a) プレート境界面に沿って分布させた20×20kmの矩形断層面を移動させ、各位置で残差の総和を最小とするすべり量を選んだ時の残差の総和の分布。赤色矩形が残差の総和が最小となる断層面の位置。

(b1) (a)の位置付近をグリッドサーチして推定した断層面（赤色矩形）と断層パラメータ。灰色矩形は最近周辺で発生したイベントの推定断層面。

1: 2020/02/19-20AM (Mw5.5), 2: 2020/02/20PM-21AM (Mw5.8), 3: 2020/02/21PM-22 (Mw5.6)

4: 2020/04/23-27 (Mw5.5), 5: 2020/05/17-20AM (Mw5.6), 6: 2020/06/04PM-06 (Mw5.5)

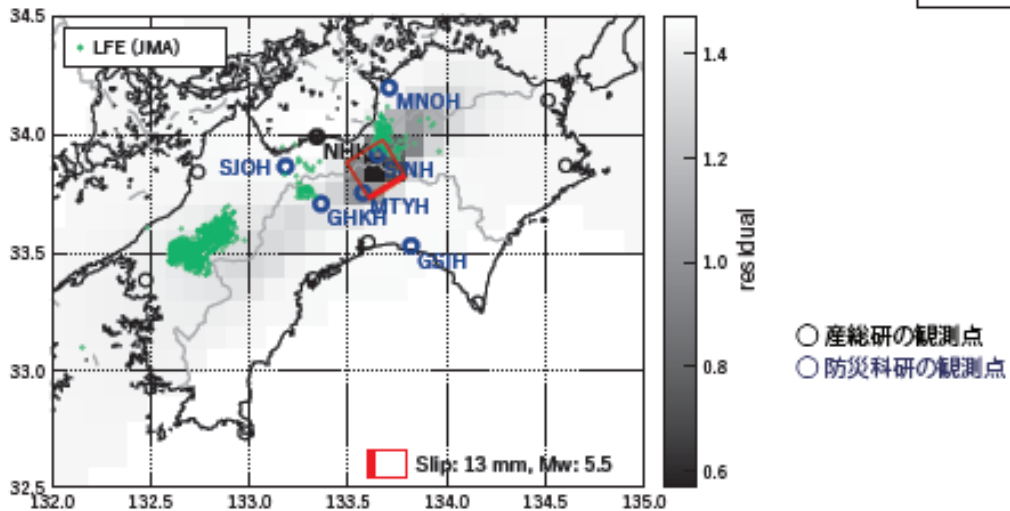
A: 2020/07/27PM - 30AM (Mw5.9)

(b2) 主歪の観測値と(b1)に示した断層モデルから求めた計算値との比較。

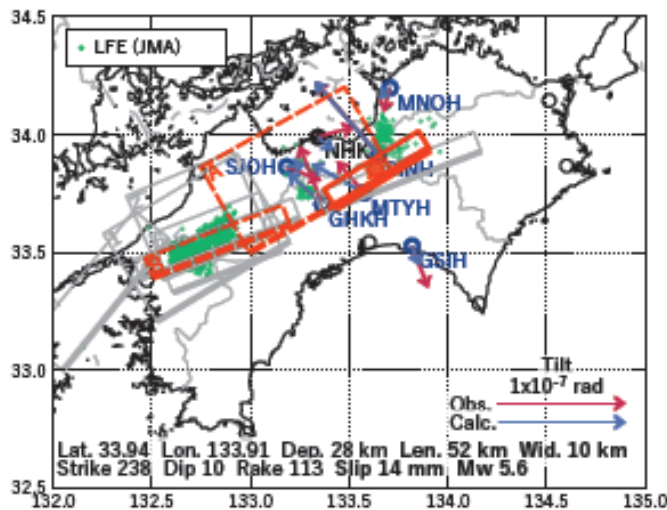
[C] 2020/07/30PM - 08/02

暫定

(a) 断層の大きさを固定した場合の断層モデルと残差分布



(b1) 推定した断層モデル



(b2) 主歪

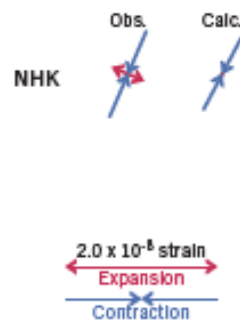


図11 2020/07/30PM - 08/02 の歪・傾斜変化（図6-8[C]）を説明する断層モデル。

(a) プレート境界面に沿って分布させた20×20kmの矩形断層面を移動させ、各位置で残差の総和を最小とするすべり量を選んだ時の残差の総和の分布。赤色矩形が残差の総和が最小となる断層面の位置。

(b1) (a)の位置付近をグリッドサーチして推定した断層面（赤色矩形）と断層パラメータ。灰色矩形は最近周辺で発生したイベントの推定断層面。

1: 2020/02/19-20AM (Mw5.5), 2: 2020/02/20PM-21AM (Mw5.8), 3: 2020/02/21PM-22 (Mw5.6)

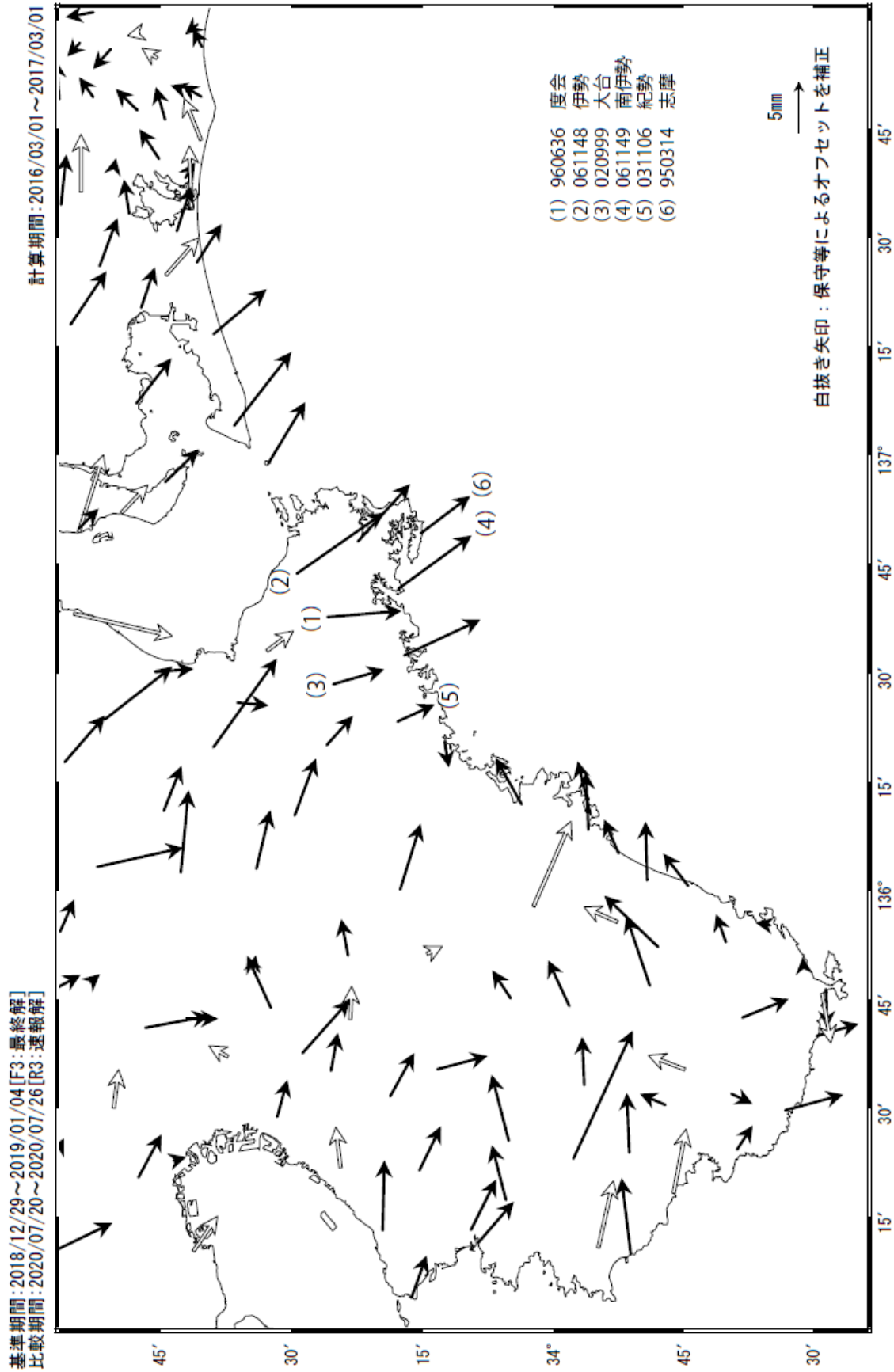
4: 2020/04/23-27 (Mw5.5), 5: 2020/05/17-20AM (Mw5.6), 6: 2020/06/04PM-06 (Mw5.5)

A: 2020/07/27PM - 30AM (Mw5.9), B: 2020/07/30PM - 08/02 (Mw5.7)

(b2) 主歪の観測値と(b1)に示した断層モデルから求めた計算値との比較。

（国土地理院による GNSS 解析）

志摩半島の非定常水平地殻変動（1次トレンド・年周期・半年周期除去後）



国土地理院

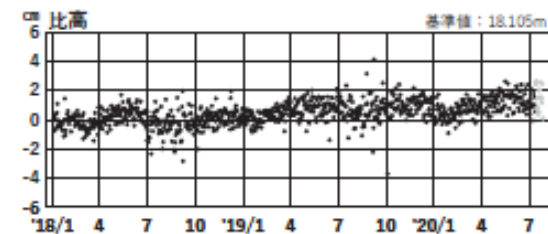
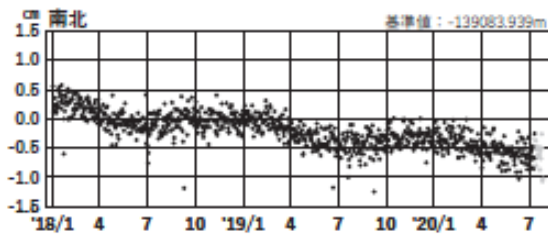
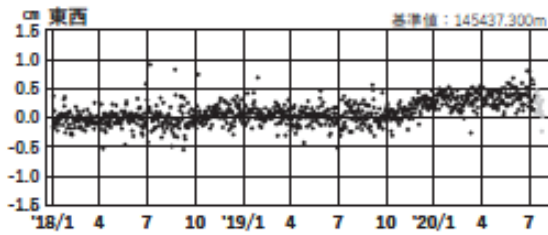
固定局：網野 (960640)

志摩半島 G N S S 連続観測時系列（1）
1次トレンド・年周成分・半年周成分除去後グラフ

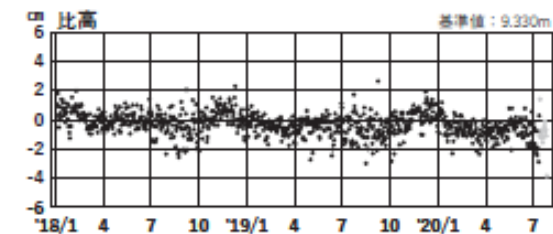
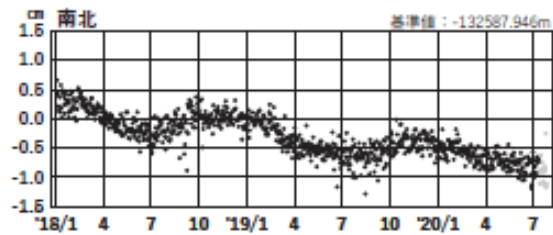
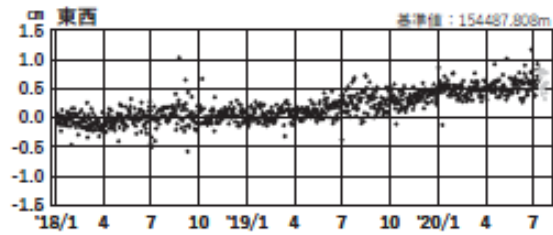
期間：2018/01/01～2020/07/27 JST

計算期間：2016/03/01～2017/03/01

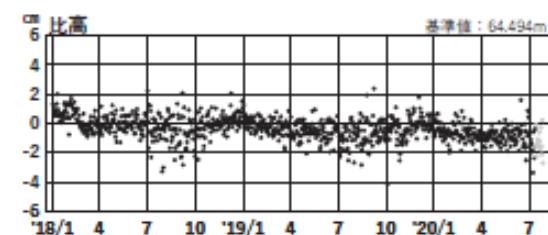
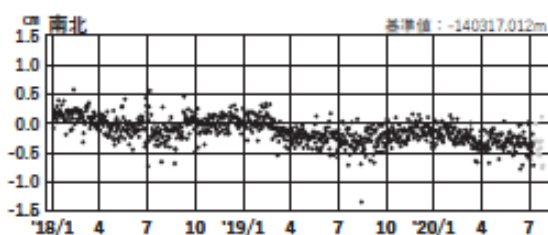
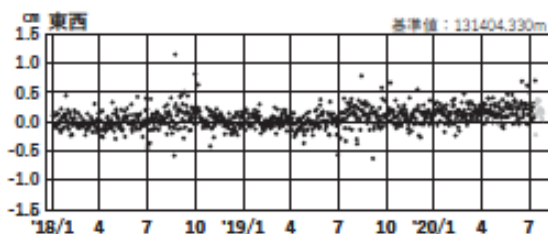
(1) 網野(960640)→度会(960636)



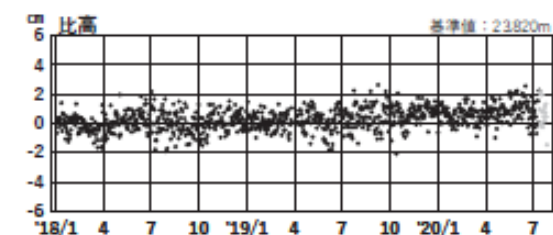
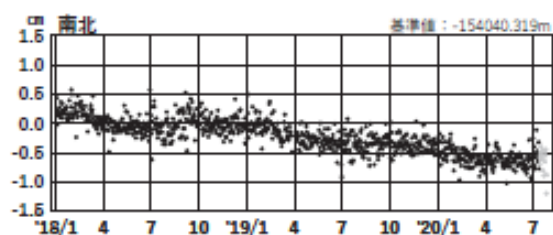
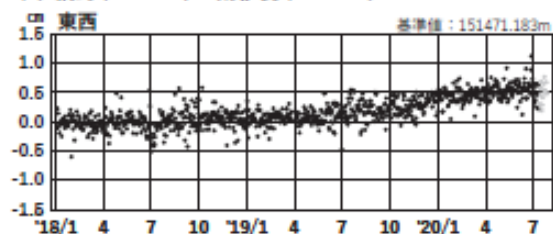
(2) 網野(960640)→伊勢(061148)



(3) 網野(960640)→大台(020999)



(4) 網野(960640)→南伊勢(061149)



●---[F3:最終解] ●---[R3:速報解]

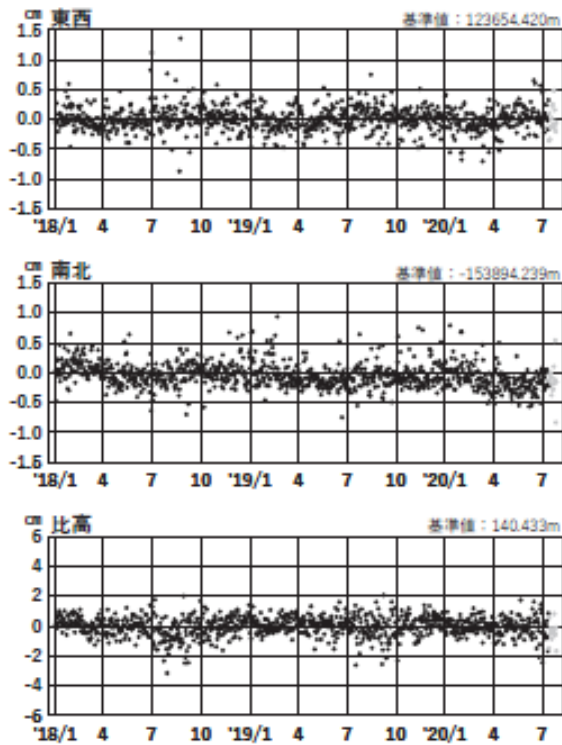
国土地理院

志摩半島 GNSS連続観測時系列（2）
1次トレンド・年周成分・半年周成分除去後グラフ

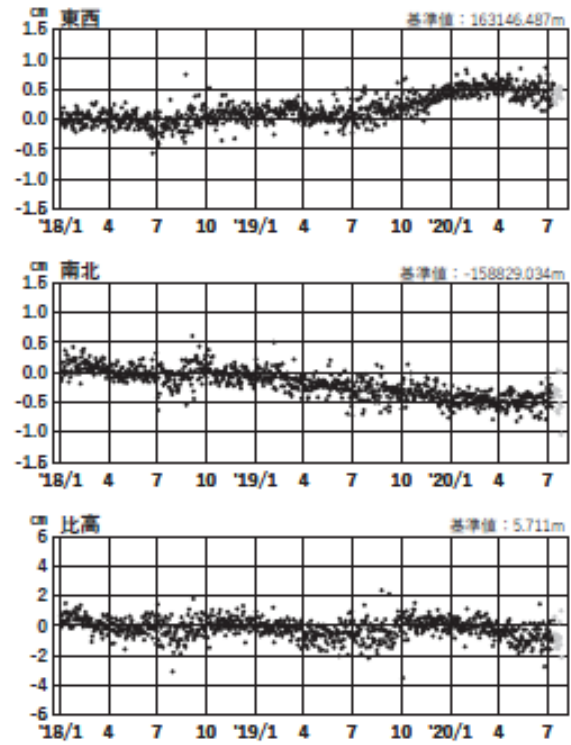
期間: 2018/01/01~2020/07/27 JST

計算期間: 2016/03/01~2017/03/01

(5) 網野(960640)→紀勢(031106)



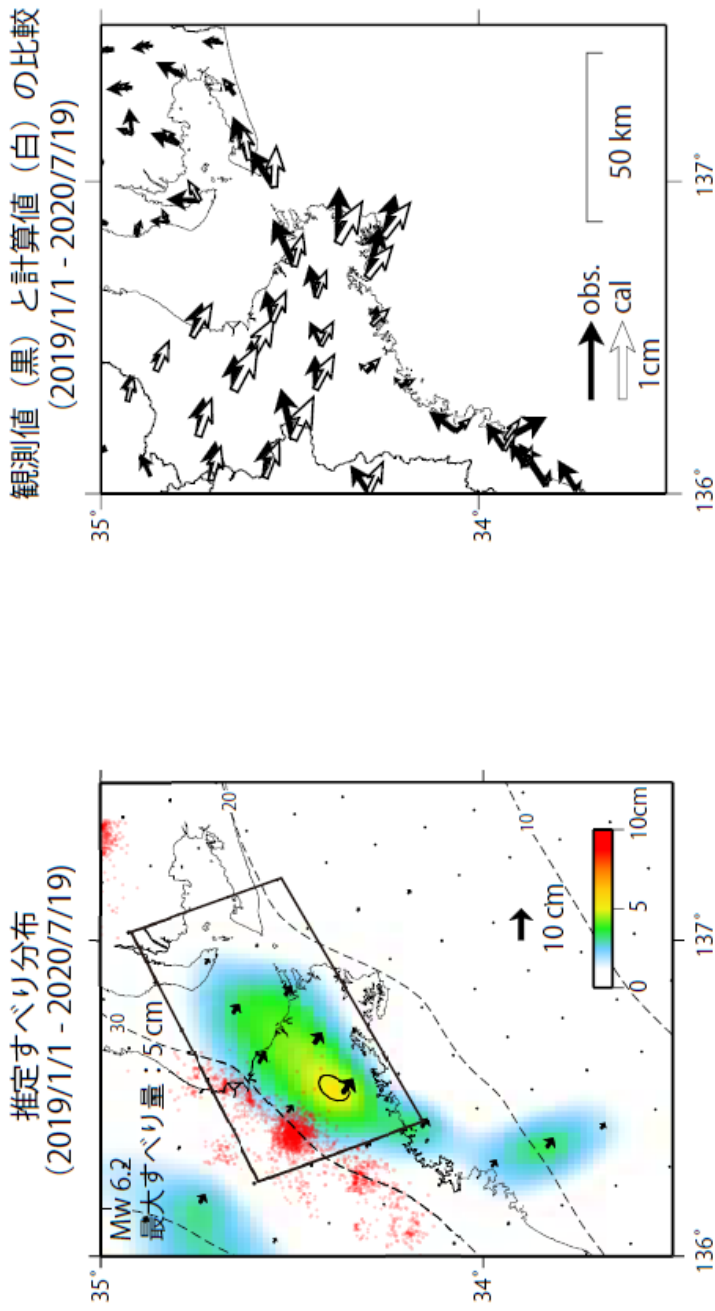
(6) 網野(960640)→志摩(950314)



●---[F3:最終解] ●---[R3:速報解]

国土地理院

GNSSデータから推定された
志摩半島の長期的ゆっくりすべり（暫定）



使用データ：F3解 (2018/1/1 - 2020/7/4) + R3解 (2020/7/5 - 2020/7/19) ※電子基準点の保守等による変動は補正済み
 トレンド期間：2016/3/1 - 2017/3/1（年周・半年周成成分は2017/1/1 - 2020/7/19のデータで補正）

モーメント計算範囲：左図の黒枠内側

観測値：3日間の平均値をカルマンフィルタで平滑化した値

黒破線：フィリピン海プレート上面の等深線（弘瀬・他、2007）

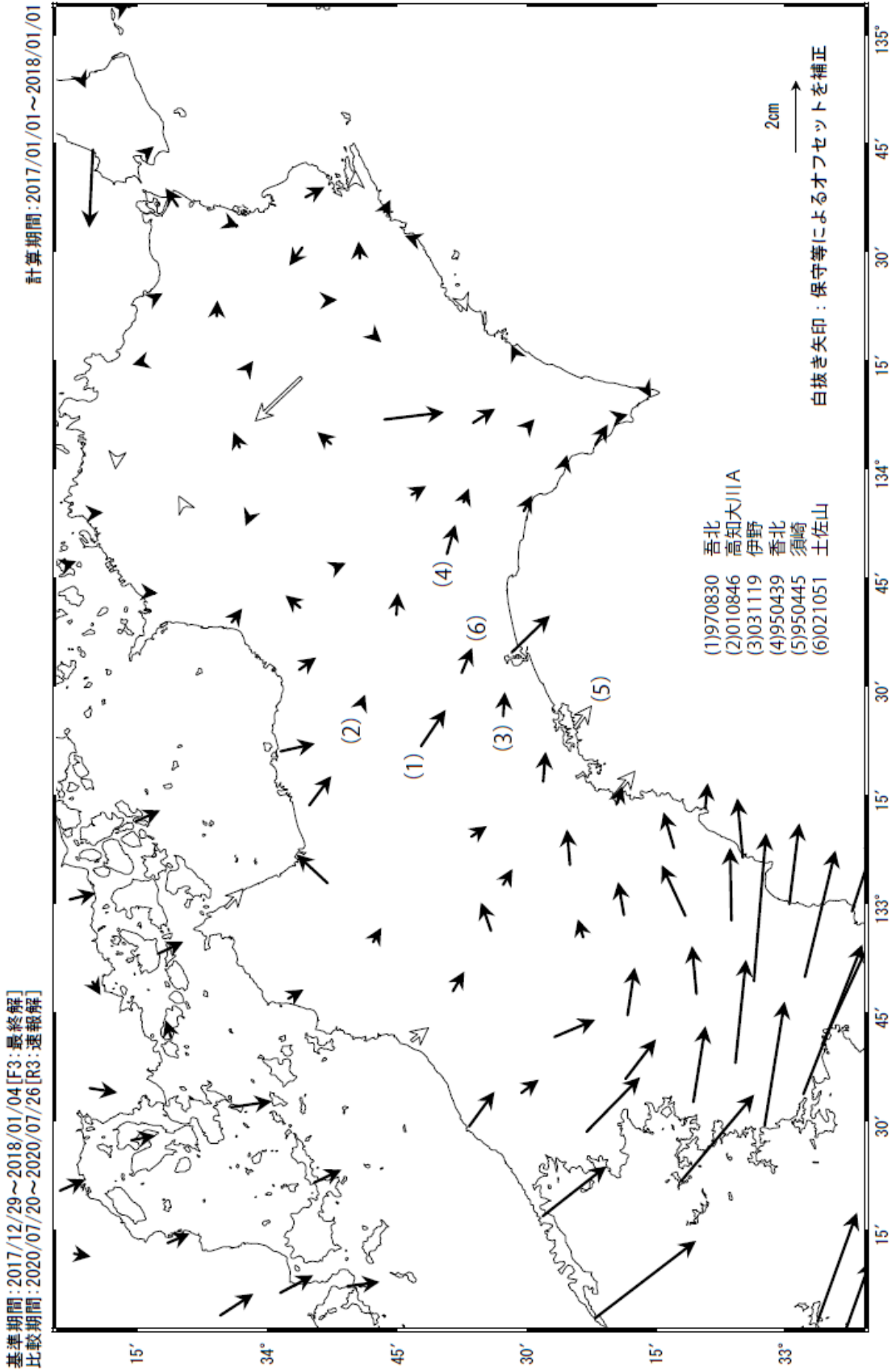
すべり方向：プレートの沈み込み方向と平行な方向に拘束

赤丸：低周波地震（気象庁一元化震源）

固定局：網野

（国土地理院による GNSS 解析）

四国中部の非定常水平地殻変動（1次トレンド・年周期・半年周期除去後）

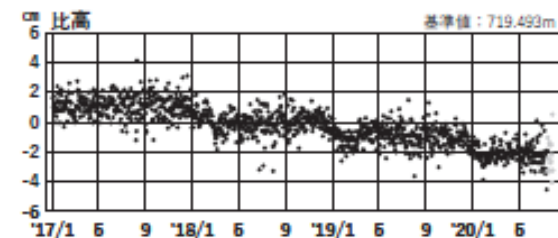
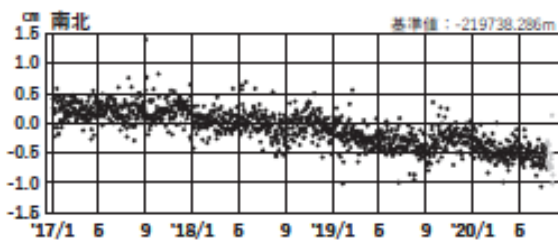
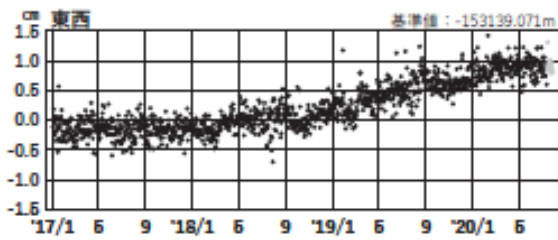


四国中部 G N S S 連続観測時系列（1）
1次トレンド・年周成分・半年周成分除去後グラフ

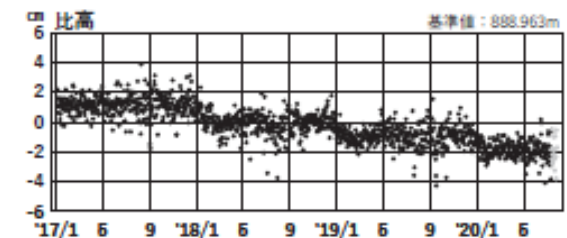
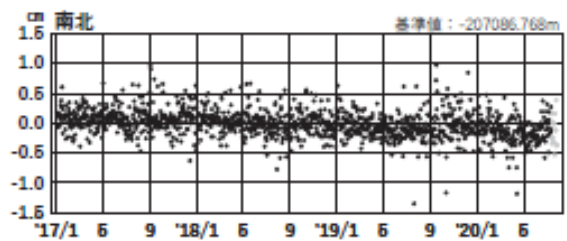
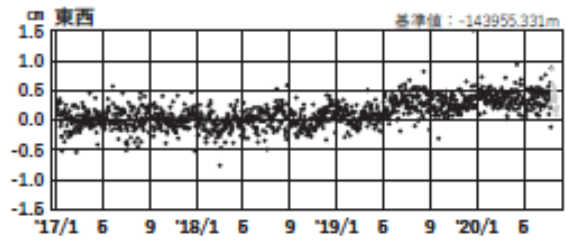
期間: 2017/01/01~2020/07/27 JST

計算期間: 2017/01/01~2018/01/01

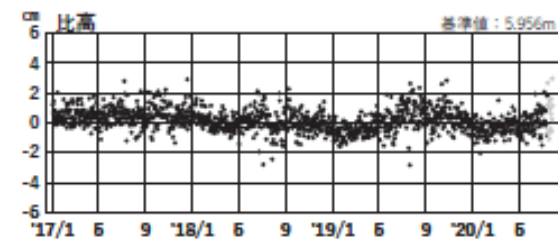
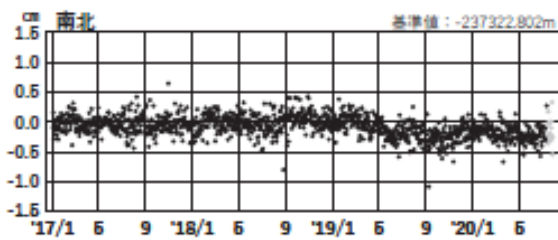
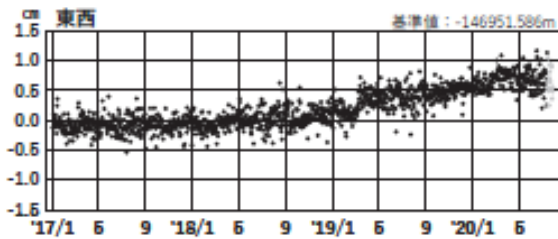
(1) 網野(960640)→吾北(970830)



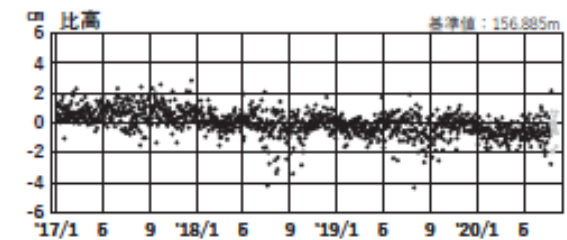
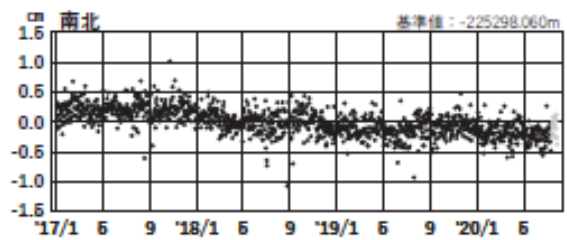
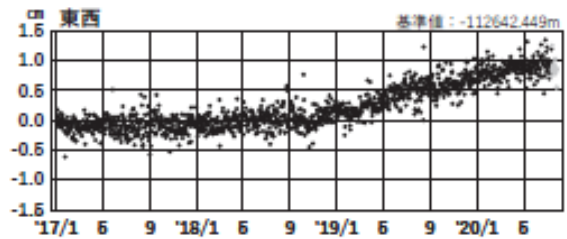
(2) 網野(960640)→高知大川 A (010846)



(3) 網野(960640)→伊野(031119)



(4) 網野(960640)→吾北(950439)



●---[F3:最終解] ●---[R3:速報解]

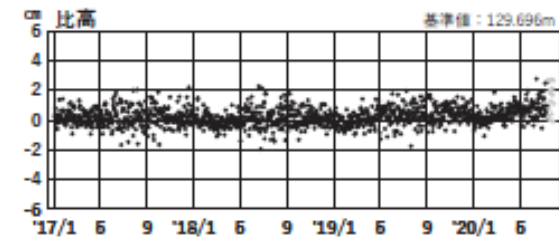
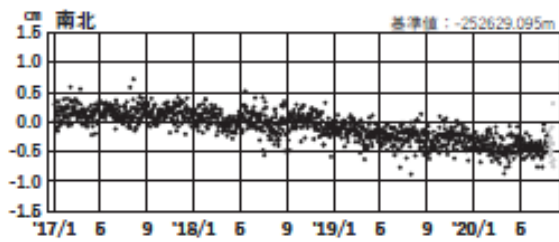
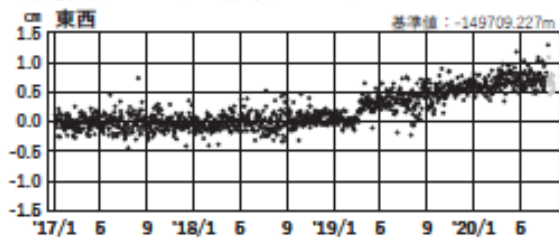
国土地理院

四国中部 G N S S連続観測時系列（2）
1次トレンド・年周成分・半年周成分除去後グラフ

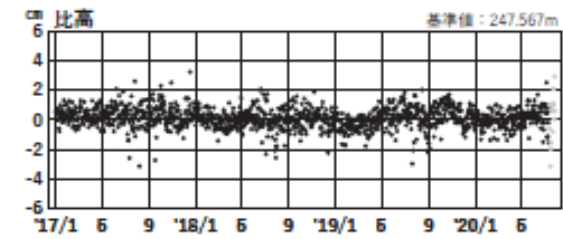
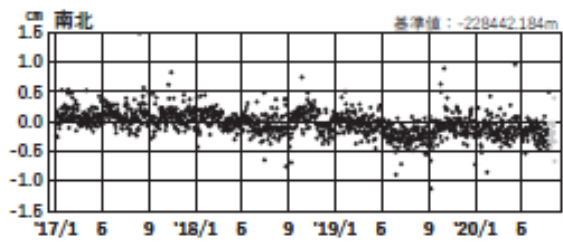
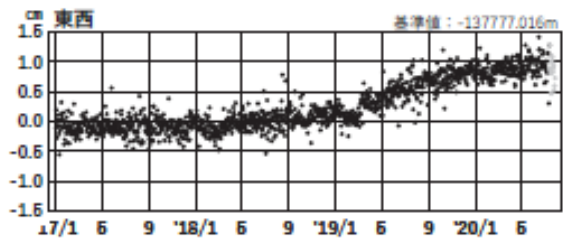
期間: 2017/01/01~2020/07/27 JST

計算期間: 2017/01/01~2018/01/01

(5) 網野(960640)→須崎(940445)



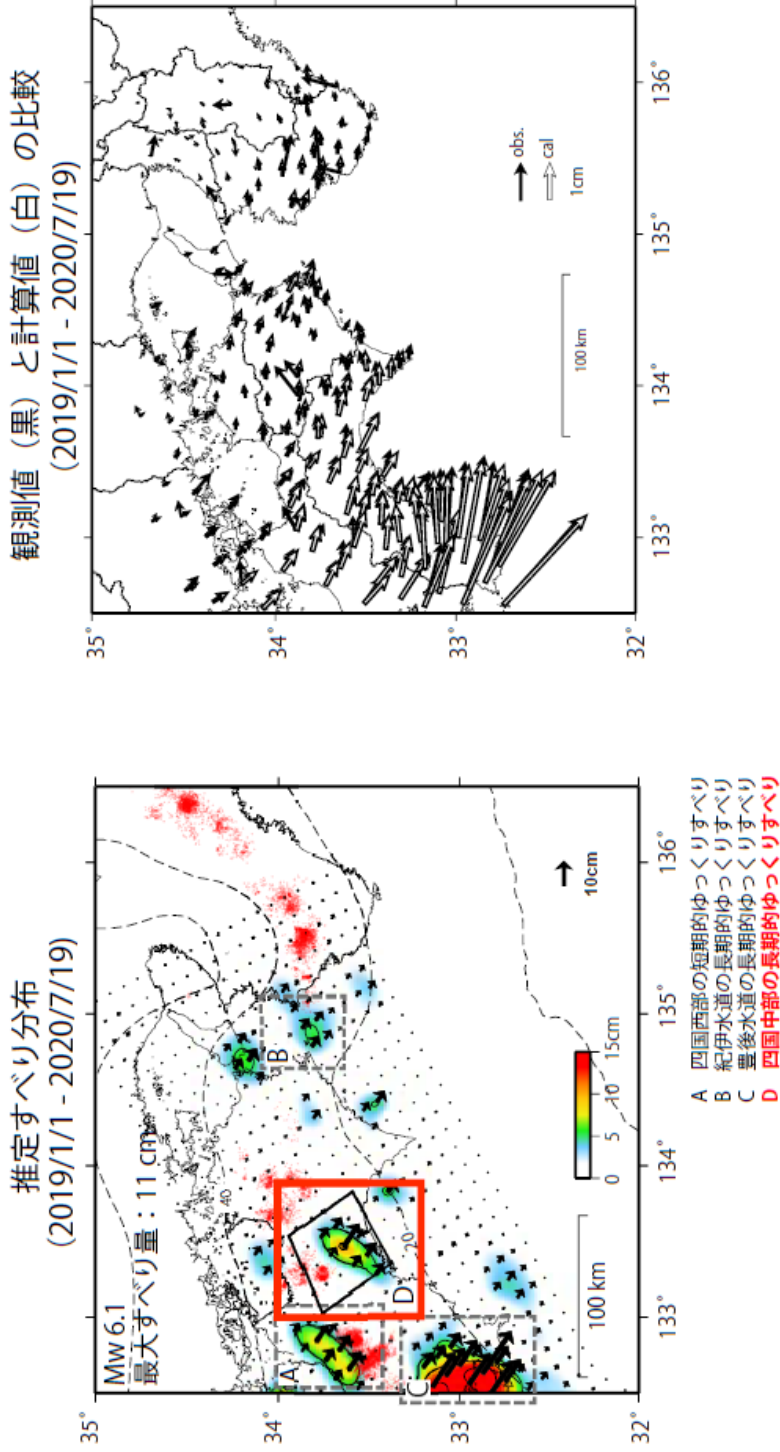
(6) 網野(960640)→土佐山(021051)



●---[F3:最終解] ●---[R3:速報解]

国土地理院

GNSSデータから推定された
四国中部の長期的ゆっくりすべり（暫定）



使用データ：F3解 (2019/1/1 - 2020/7/4) + R3解 (2020/7/5 - 2020/7/19) ※電子基準点の保守等による変動は補正済み

トレンド期間：2017/1/1 - 2018/1/1 (年周・半年周成分は2017/1/1 - 2020/7/19のデータで補正)

モーメント計算範囲：左図の黒枠内側

観測値：3日間の平均値をカルマンフィルタで平滑化した値

黒破線：フィリピン海プレート上面の等深線 (弘瀬・他、2007)

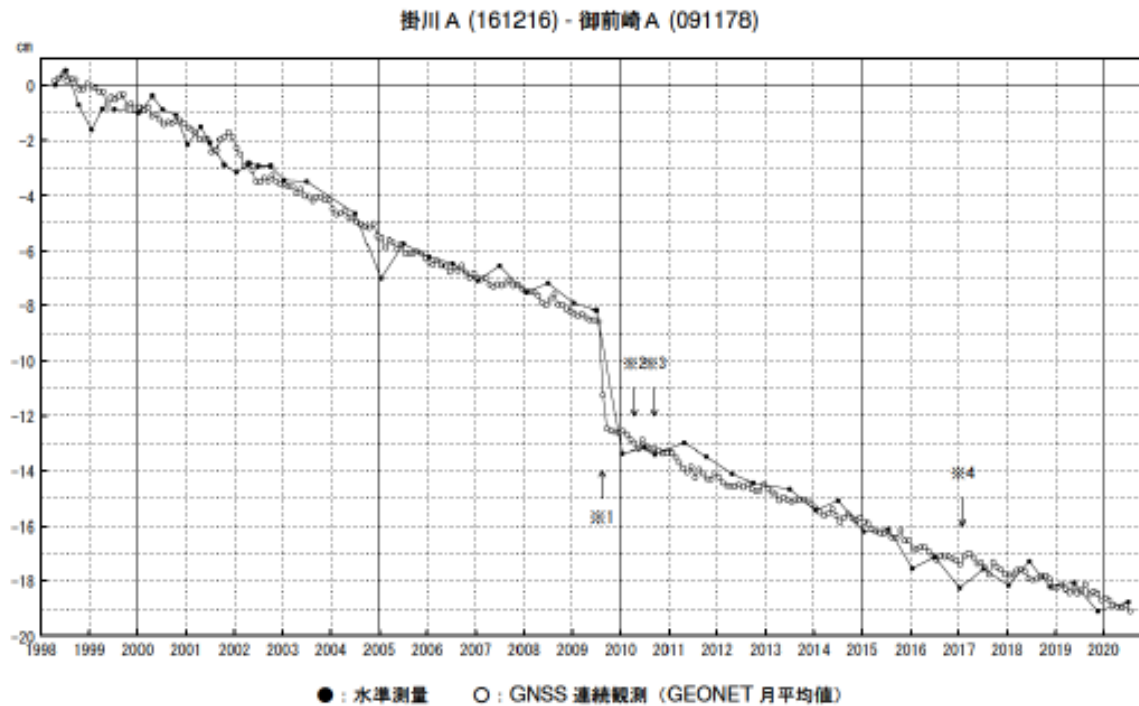
すべり方向：プレートの沈み込み方向と平行な方向に拘束

赤丸：低周波地震 (気象庁一元化震源)

固定局：網野

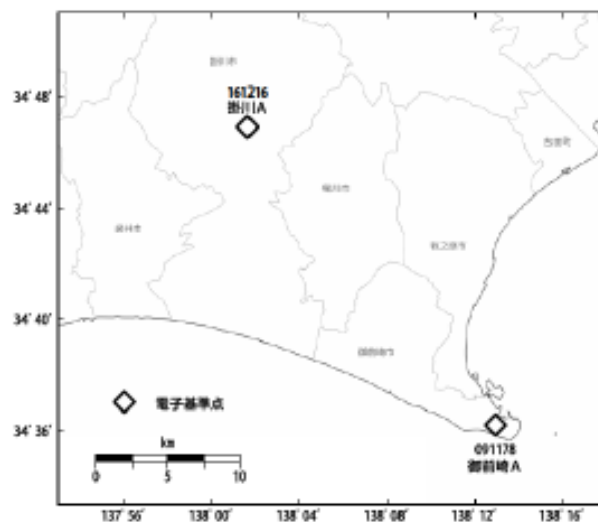
御前崎 電子基準点の上下変動
水準測量とGNSS連続観測

掛川に対して、御前崎が沈降する長期的な傾向が続いている。



・ 最新のプロット点は 07/01～07/11 の平均。

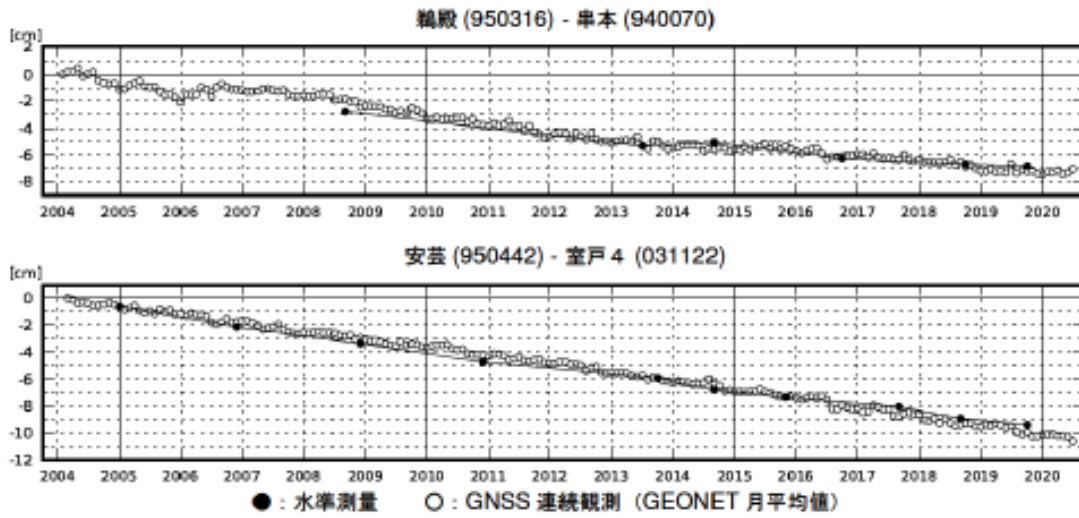
- ※1 電子基準点「御前崎」は 2009 年 8 月 11 日の駿河湾の地震 (M6.5) に伴い、地表付近の局所的な変動の影響を受けた。
- ※2 2010 年 4 月以降は、電子基準点「御前崎」をより地盤の安定している場所に移転し、電子基準点「御前崎A」とした。上記グラフは電子基準点「御前崎」と電子基準点「御前崎A」のデータを接続して表示している。
- ※3 水準測量の結果は移転後初めて変動量が計算できる 2010 年 9 月から表示している。
- ※4 2017 年 1 月 30 日以降は、電子基準点「掛川」は移転し、電子基準点「掛川A」とした。上記グラフは電子基準点「掛川」と電子基準点「掛川A」のデータを接続して表示している。



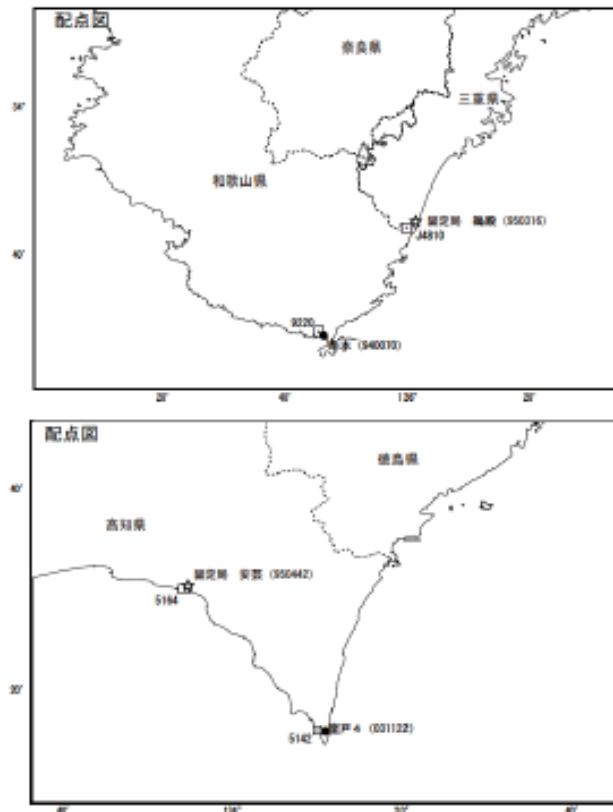
国土地理院

紀伊半島及び室戸岬周辺 電子基準点の上下変動

潮岬周辺及び室戸岬周辺の長期的な沈降傾向が続いている。

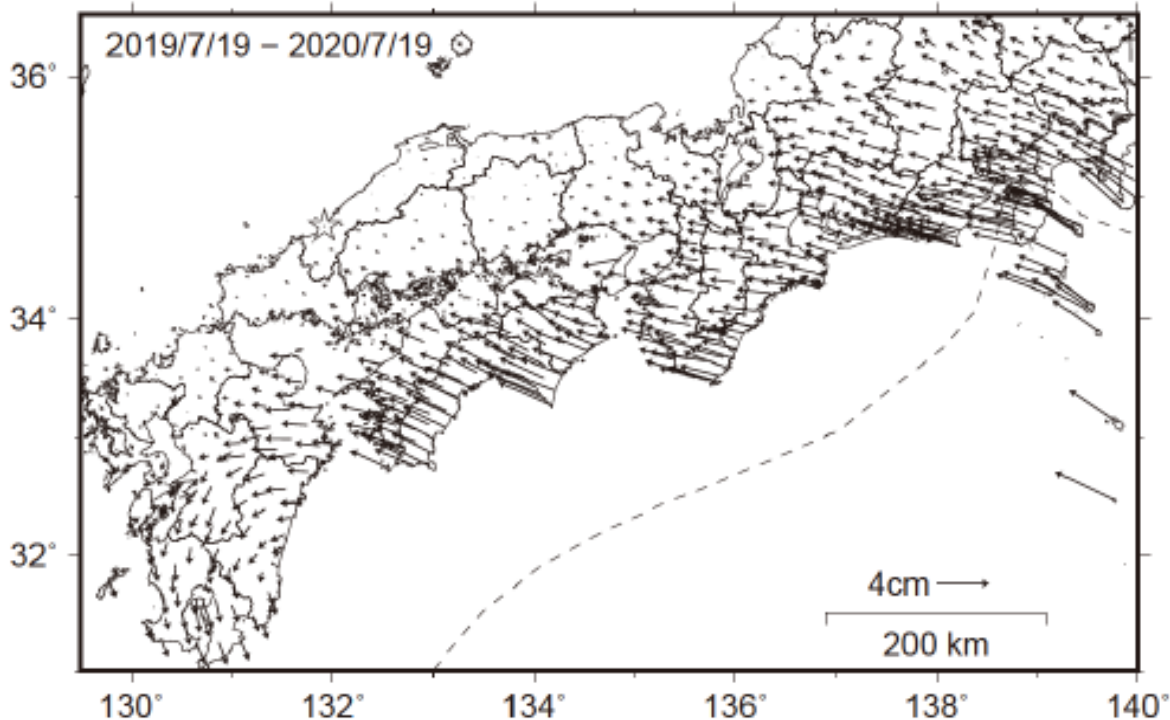


- ・ 最新のプロット点は 7/1~7/11 の平均。
- ・ 水準測量による結果については、最寄りの一等水準点の結果を表示している。

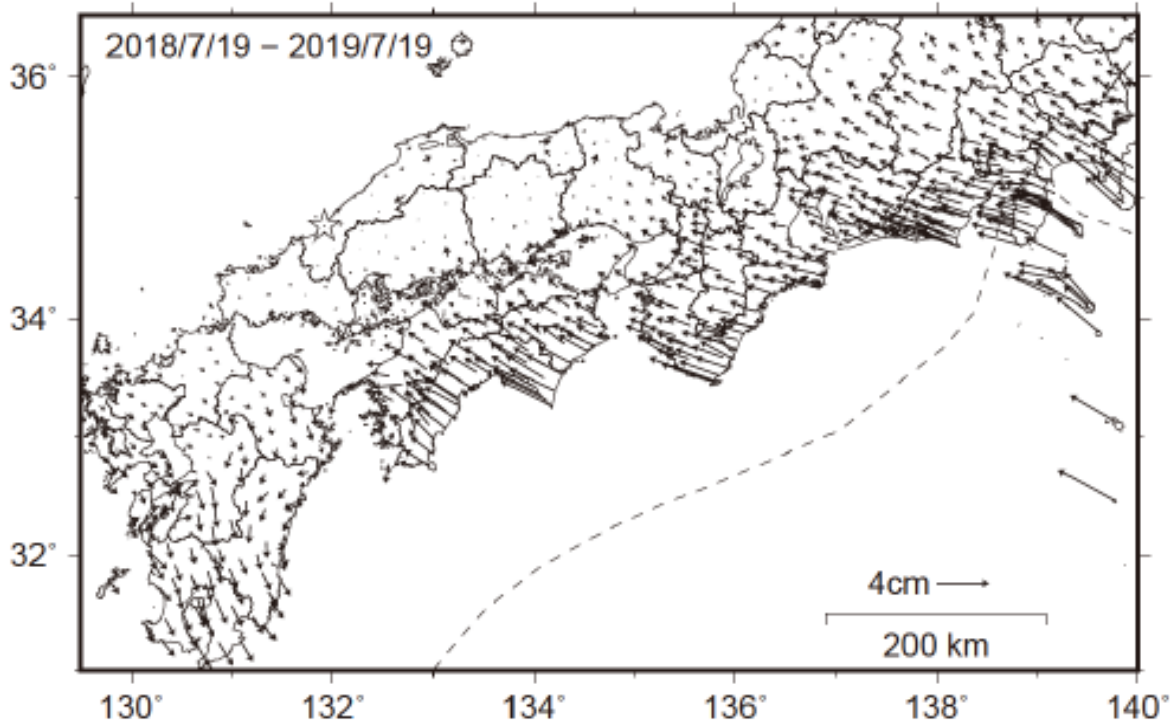


南海トラフ沿いの水平地殻変動【固定局：三隅】

【最近1年間】



【1年前の1年間】

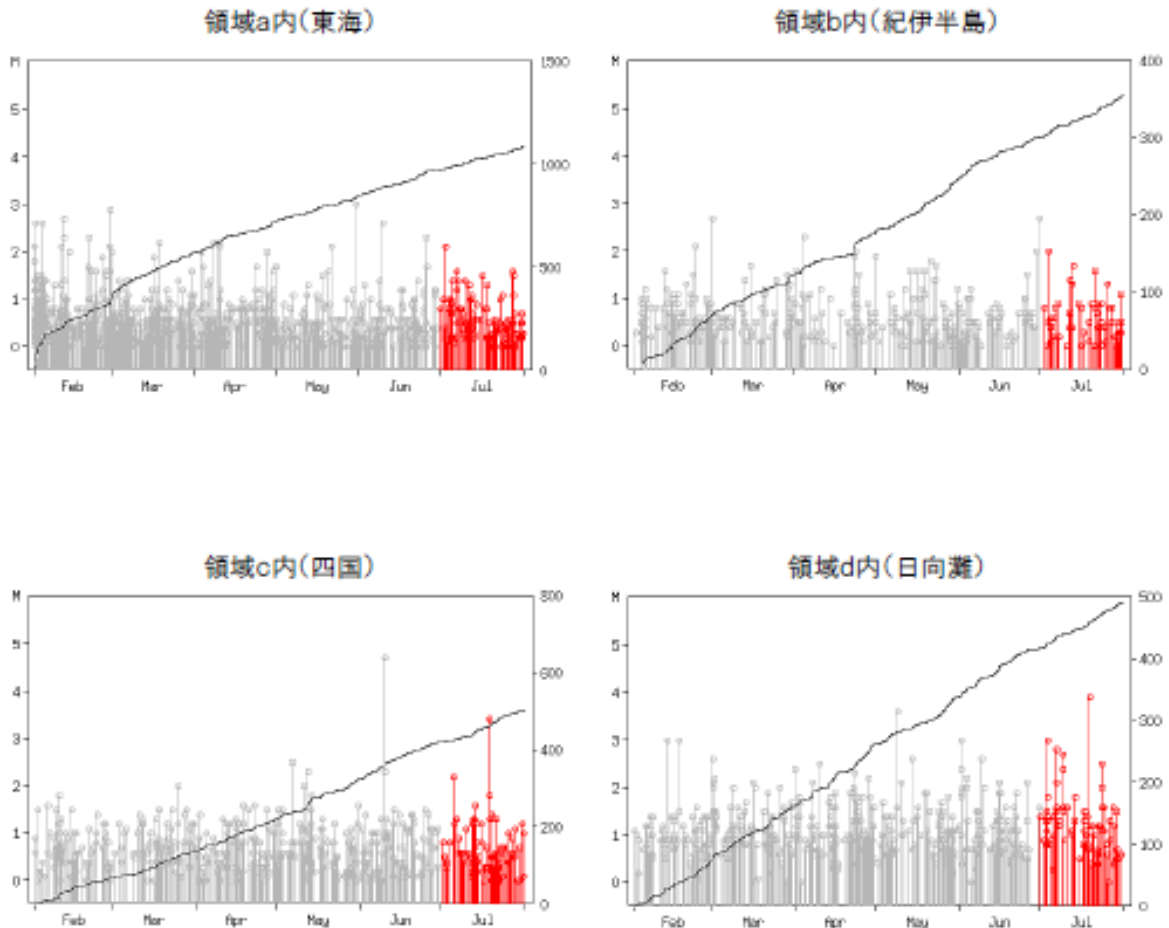


・各日付 ± 6日の計 13日間の変動量の中央値をとり、その差から1年間の変動量を表示している。

プレート境界とその周辺の地震活動

フィリピン海プレート上面の深さから±6km未満の地震を表示している。

震央分布図の各領域内のMT図・回数積算図

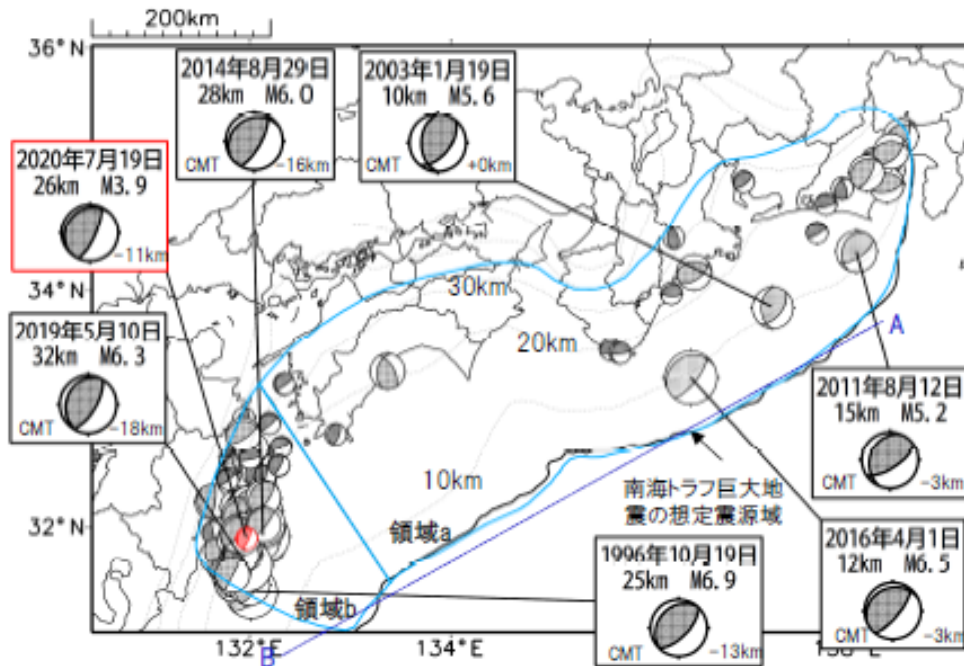


※M全ての地震を表示していることから、検知能力未満の地震も表示しているため、回数積算図は参考として表記している。

気象庁作成

想定南海トラフ地震の発震機構解と類似の型の地震

震央分布図(1987年9月1日～2020年7月31日、M \geq 3.2、2020年7月の地震を赤く表示)



・フィリピン海プレート上面の深さは、Hirose et al.(2008)、Baba et al.(2002)による。震央分布図中の点線は10kmごとの等深線を示す。

・今期間に発生した地震(赤)、日向灘のM6.0以上、その他の地域のM5.0以上の地震に吹き出しを付けている。

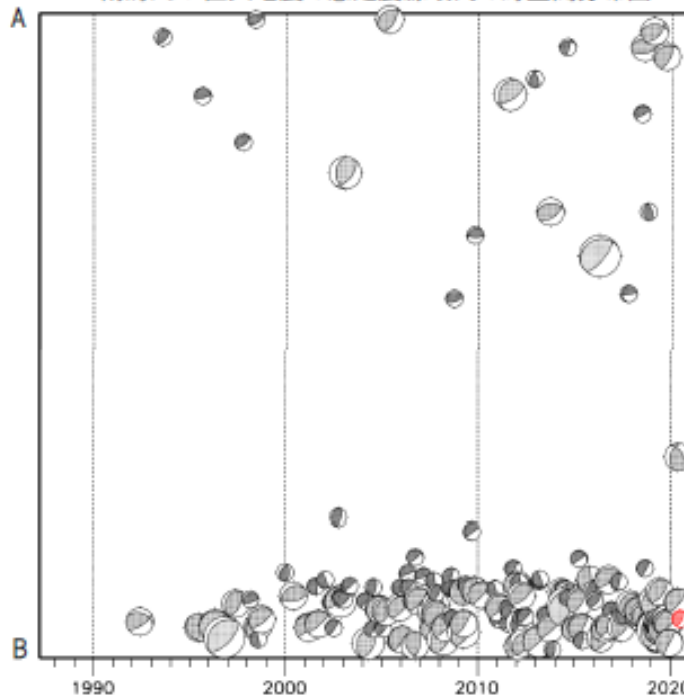
・発震機構解の横に「S」の表記があるものは、精度がやや劣るものである。

・吹き出しの右下の数値は、フィリピン海プレート上面の深さからの差を示す。+は浅い、-は深いことを示す。

・吹き出しに「CMT」と表記した地震は、発震機構解と深さはCMT解による。Mは気象庁マグニチュードを表記している。

・発震機構解の解析基準は、解析当時の観測網等に応じて変遷しているため一定ではない。

南海トラフ巨大地震の想定震源域内の時空間分布図



プレート境界型の地震と類似の型の発震機構解を持つ地震は以下の条件で抽出した。

【抽出条件】

- ・M3.2以上の地震
- ・領域a内(南海トラフの想定最大規模の想定震源域内)で発生した地震
- ・発震機構解が以下の条件を全て満たしたものを抽出した。

P軸の傾斜角が45度以下

P軸の方位角が65度以上180度以下(※)

T軸の傾斜角が45度以上

N軸の傾斜角が30度以下

※以外の条件は、東海地震と類似の型を抽出する条件と同様

・発震機構解は、CMT解と初動解の両方で検索をした。

・同一の地震で、CMT解と初動解の両方がある場合はCMT解を選択している。

・東海地方から四国地方(領域a)は、フィリピン海プレート上面の深さから±10km未満の地震のみ抽出した。日向灘(領域b)は、+10km～20km未満の震源を抽出した。CMT解はセントロイドの深さを使用した。

気象庁作成

南海トラフ巨大地震の想定震源域とその周辺の地震活動指数

2020年7月31日

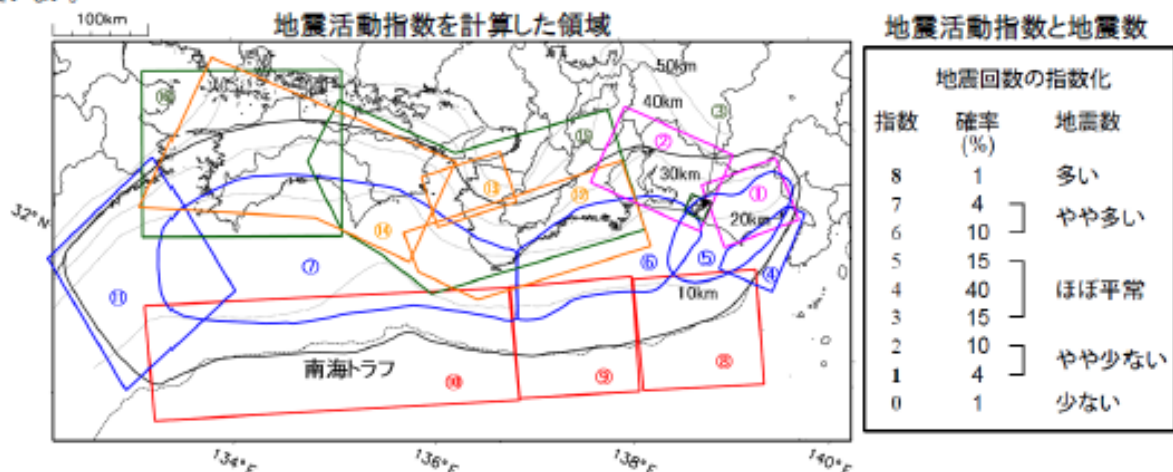
領域	①静岡県 中西部		②愛知県		③浜名湖 周辺	④駿河 湾	⑤東海	⑥東南海	⑦南海
	地	ブ	地	ブ	ブ	全	全	全	全
地震活動指数	4	5	5	4	6	3	4	3	5
平均回数	16.5	18.5	26.6	13.7	13.4	13.2	18.3	19.6	21.3
MLさい値	1.1		1.1		1.1	1.4	1.5	2.0	2.0
クラスタ 除去	距離		3km		3km	10km	10km	10km	10km
	日数		7日		7日	10日	10日	10日	10日
対象期間	60日	90日	60日	30日	360日	180日	90日	360日	90日
深さ	0~ 30km	0~ 60km	0~ 30km	0~ 60km	0~ 60km	0~ 60km	0~ 60km	0~ 100km	0~ 100km

領域	南海トラフ沿い		⑪日向 灘	⑫紀伊 半島	⑬和歌 山	⑭四国	⑮紀伊半 島	⑯四国	
	⑧東側	⑩西側	全	地	地	地	ブ	ブ	
	全	全	全	地	地	地	ブ	ブ	
地震活動指数	7	4	5	3	1	1	3	2	
平均回数	12.1	14.9	20.6	22.9	42.0	30.5	27.7	28.2	
MLさい値	2.5	2.5	2.0	1.5	1.5	1.5	1.5	1.5	
クラスタ 除去	距離		10km	10km	10km	3km	3km	3km	3km
	日数		10日	10日	10日	7日	7日	7日	7日
対象期間	720日	360日	60日	120日	60日	90日	30日	30日	
深さ	0~ 100km	0~ 100km	0~ 100km	0~ 20km	0~ 20km	0~ 20km	20~ 100km	20~ 100km	

* 基準期間は、全領域1997年10月1日～2019年1月31日

* 領域標の「地」は地殻内、「ブ」はフィリピン海プレート内で発生した地震であることを示す。ただし、震源の深さから便宜的に分類しただけであり、厳密に分離できていない場合もある。「全」は浅い地震から深い地震まで全ての深さの地震を含む。

* ⑨の領域(三重県南東沖)は、2004年9月5日以降の地震活動の影響で、地震活動指数を正確に計算できないため、掲載していない。



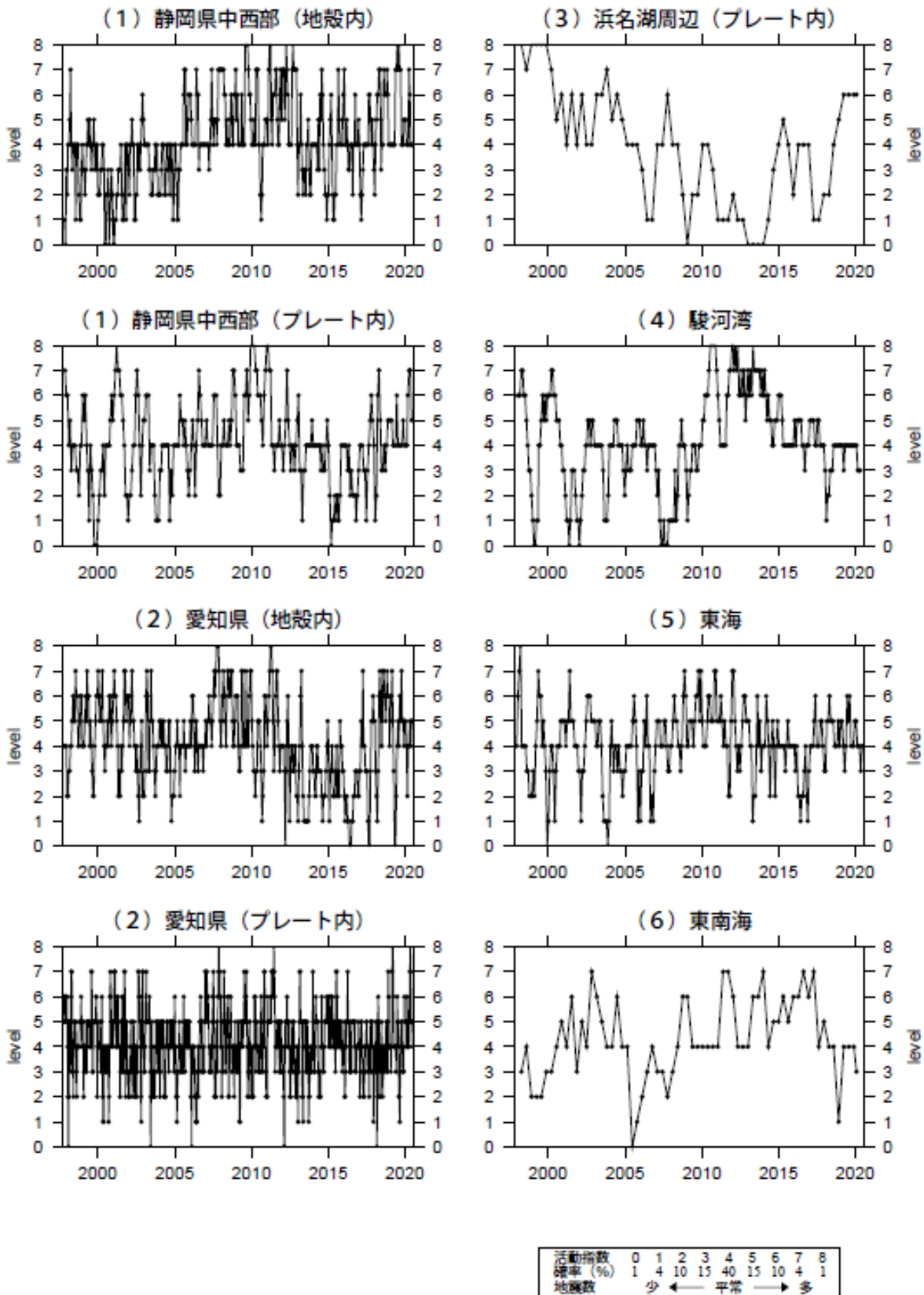
* 黒色実線は、南海トラフ巨大地震の想定震源域を示す。

* Hirose et al.(2008)、Baba et al.(2002)によるプレート境界の等深線を破線で示す。

気象庁作成

地震活動指数一覧

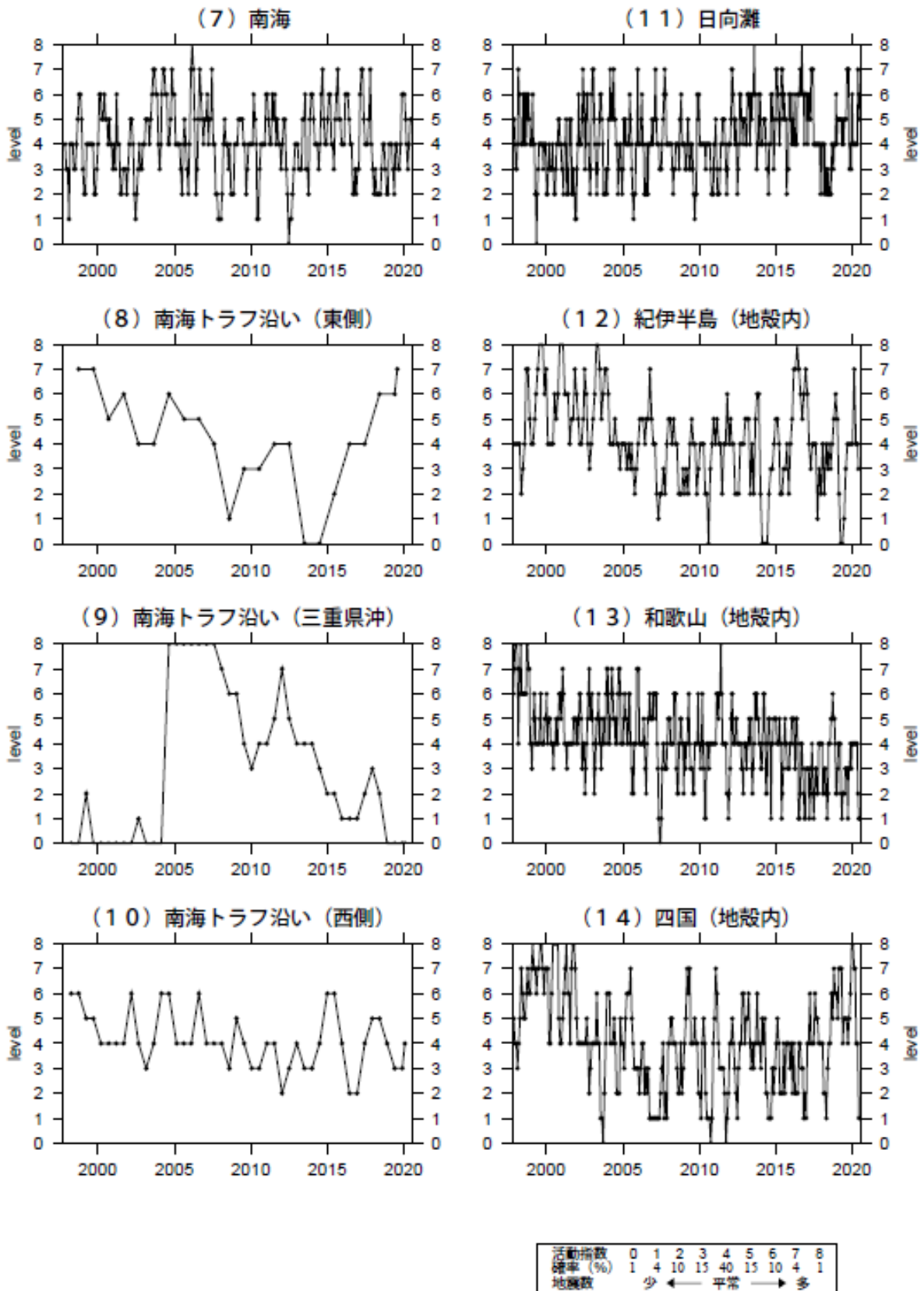
2020年07月31日



気象庁作成

地震活動指数一覧

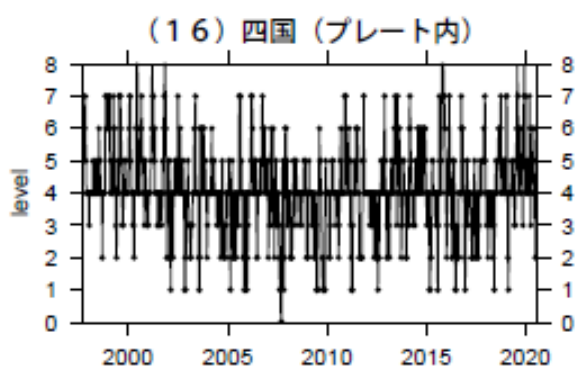
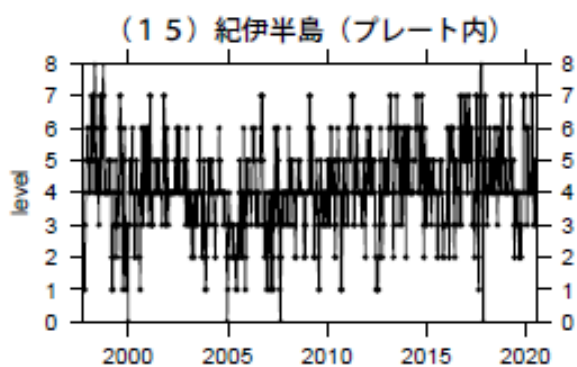
2020年07月31日



気象庁作成

地震活動指数一覧

2020年07月31日



活動指数	0	1	2	3	4	5	6	7	8
確率 (%)	1	4	10	15	40	15	10	4	1
地震数	少	←		平常	→		多		

気象庁作成